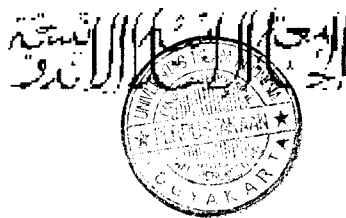
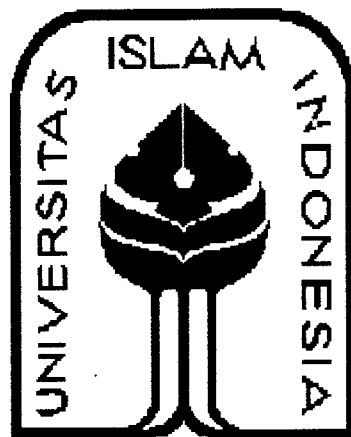


PERPUSTAKAAN FTSP UH	
HABIBULLAH	
TGL. TERIMA :	23 Februari 2007
NO. JUDUL :	002251
NO. INV. :	220002281001
NO. INDIK. :	

TUGAS AKHIR

**PRILAKU KOLOM PROFIL C BENTUKAN DINGIN DENGAN
VARIASI RASIO LEBAR TERHADAP TINGGI PENAMPANG**

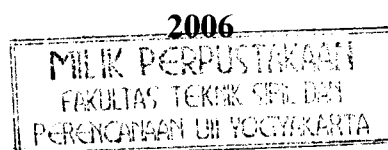


Disusun Oleh :

Edy saputra

No Mhs : 00 511 094

**JURUSAN TEKNIK SIPIL
FAKULTAS TEKNIK SIPIL DAN PERENCANAAN
UNIVERSITAS ISLAM INDONESIA
JOGJAKARTA**



KATA PENGANTAR



Assalamu ' alaikum Wr. Wb.

Puji syukur kehadiran Allah SWT atas karunia dan rahmat-Nya hingga penyusun dapat melaksanakan serta menyusun laporan Tugas Akhir ini dengan baik.

Laporan Tugas Akhir ini disusun sebagai syarat menempuh jenjang pendidikan Strata Satu (S-1) pada Fakultas Teknik Sipil dan Perencanaan Jurusan Teknik Sipil Universitas Islam Indonesia, Yogyakarta. Dalam menyusun laporan, sebelumnya penyusun telah melakukan pengujian pada Laboratorium Mekanika Rekayasa Fakultas Teknik Sipil dan Perencanaan Jurusan Teknik Sipil Universitas Islam Indonesia, Yogyakarta.

Selama melaksanakan dan menyusun laporan Tugas Akhir, penyusun mendapatkan banyak bimbingan dan bantuan dari berbagai pihak, dalam kesempatan ini penyusun menyampaikan terima kasih kepada:

1. Bapak Dr. Ir. H. Ruzardi, MT., selaku Dekan Fakultas Teknik Sipil dan Perencanaan Universitas Islam Indonesia,
2. Bapak Ir. H. Faisol, MT., selaku Ketua Jurusan Teknik Sipil dan Perencanaan Fakultas Teknik Sipil dan Perencanaan Universitas Islam Indonesia,
3. Bapak Ir. Fatkhurrohman NS, MT., selaku Dosen Pembimbing ,
4. Ir. H. Ilman Moor, MSCE selaku Dosen Penguji
5. Ir. H. Suharyatmo, MT, selaku Dosen Penguji
6. Abah & Uma, pa Zul & Ibu Hayat, Mas Yani & Mpo Lia, Itha & Sigit, Mami & Papi Bob, K'Arfi & mas Eko, Awang & Sari, om Ndut (Adhe)& Rama Vita, Maya Embun Sari, Ssos & Maryana Aalia Mumtaz tercinta,

LEMBAR PENGESAHAN
TUGAS AKHIR
PRILAKU KOLOM PROFIL C BENTUKAN DINGIN DENGAN
VARIASI RASIO LEBAR TERHADAP TINGGI PENAMPANG

Disusun oleh :

Edy Saputra
00 511 094

Telah diperiksa dan disetujui oleh :



Fathkurrohman N, Ir. MT
Dosen Pembimbing

Tgl : 16 - 11 - 2006 .

MOTTO

“Katakanlah : Adakah sama orang-orang yang mengetahui dengan orang-orang yang tidak mengetahui? Sesungguhnya orang yang berakallah yang dapat menerima pelajaran.” (QS. Az Zumar : 8)

“Barangsiapa merintis jalan mencari ilmu maka Allah akan memudahkan jalan ke surga.” (HR. Muslim)

DAFTAR ISI

Halaman

HALAMAN JUDUL	
HALAMAN PENGESAHAN	
MOTO	
KATA PENGANTAR	
DAFTAR ISI	
DAFTAR TABEL	
DAFTAR GAMBAR	
DAFTAR LAMPIRAN	
DAFTAR NOTASI	
INTISARI	
BAB I PENDAHULUAN.....	1
1.1 Latar Belakang	1
1.2 Rumusan Masalah	2
1.3 Tujuan Penelitian.....	2
1.4 Manfaat Penelitian.....	2
1.5 Batasan Masalah.....	2
BAB II TINJAUAN PUSTAKA	4
BAB III LANDASAN TEORI.....	7

3.1	Kolom Frofil Bentukun Dingin	7
3.1.1	Keruntuhan Akibat Tegangan Leleh Terlampaui.....	8
3.1.2	Keruntuhan Akibat Tekuk	9
3.1.3	Nilai Koefisien Tekuk	14
3.2	Elemen Tertekan yang Tidak Diperkuat	21
3.3	Elemen Tertekan Yang diperkuat.....	23
3.4	Penampang Profil Bentukun dingin.....	24
3.5	Penampang Lintang Lipped Channel	26
3.6	Pengaruh Rasio Lebar Terhadap Tinggi.....	27
3.7	Hipotesis.....	29
BAB IV	METODOLOGI PENELITIAN	30
4.1	Metodologi Penelitian	30
4.2	Bahan dan Alat yang digunakan.....	30
4.2.1	Bahan.....	30
4.3.2	Peralatan Penelitian	30
4.4	Pembuatan Benda Uji.....	32
4.5	Pengujian Sampel.....	34
4.5.1	Pengujian Kuat Tarik Baja	34
4.5.2	Pengujian Tekan Baja.....	34
BAB V	HASIL PENELITIAN DAN PEMBAHASAN	35
5.1	Hasil Pengujian Kuat Tarik Baja.....	35
5.2	Hasil Pengujian Kuat Tekan Baja	37

5.2.1	Kurva kuat desak – KL/r Hasil Pengujian.....	40
5.2.2	Kurva regresi kuat desak –KL/r	42
5.3	Nilai koefisien tekuk	47
5.4	Pembahasan	51
BAB VI	KESIMPULAN DAN SARAN	54
6.1	Kesimpulan.....	54
6.2	Saran.....	55
DAFTAR PUSTAKA		56
PENUTUP		

DAFTAR GAMBAR

			Halaman
Gambar	3.1	Kolom profil light lipped channel bentukan dingin	7
Gambar	3.2	Batang tertekan	9
Gambar	3.3	Grafik hubungan $KL/r - F_a$ di beberapa negara	11
Gambar	3.4	Plat tumpuan sederhana	12
Gambar	3.5	Penampang kolom profil channel di pasca tekuk lokal	13
Gambar	3.6	Profil lipped channel	14
Gambar	3.7	Koefisien tekuk elastis untuk tekanan pada pelat segi empat datar	17
Gambar	3.8	Koefisien tekuk lokal untuk batang tekan penampang I	19
Gambar	3.9	Grafik hubungan koefisien tekuk plat – Rasio h/b	21
Gambar	3.10	Grafik tegangan ijin untuk elemen tertekan tanpa pengaku	21
Gambar	3.11	Profil bentukan dingin	25
Gambar	3.12	Profil lipped channel	26
Gambar	3.13	Profil lipped channel 75x35x8x1,2	28
Gambar	3.14	Profil lipped channel 100x40x8x1,7	28
Gambar	3.15	Profil Lipped channel 125x40x10x2	28
Gambar	3.16	Profil lipped channel 150x40x10x2,8	28
Gambar	4.1	Universal testing material shimatzu UMH 30	33

Gambar	4.2	Benda uji kuat tarik	33
Gambar	4.3	benda uji kuat tekan baja	33
Gambar	5.1	Grafik hubungan kuat desak – KL/r (C 75x35x8x1,2)	40
Gambar	5.2	Grafik hubungan kuat desak – KL/r (C 100x40x8x1,7)	40
Gambar	5.3	Grafik hubungan kuat desak – KL/r (C 125x40x10x2)	41
Gambar	5.4	Grafik hubungan kuat desak – KL/r (C 150x40x10x2,8)	41
Gambar	5.5	Regresi hubungan kuat desak – KL/r (C 75x35x8x1,2)	42
Gambar	5.6	Regresi hubungan kuat desak – KL/r (C 100x40x8x1,7)	42
Gambar	5.7	Regresi hubungan kuat desak – KL/r (C 125x40x10x2)	43
Gambar	5.8	Regresi hubungan kuat desak – KL/r (C 150x40x10x2,8)	43
Gambar	5.9	Grafik hubungan kuat desak – KL/r	44
Gambar	5.10	Regresi hubungan kuat desak – KL/r	44
Gambar	5.11	Kurva hubungan Koefisien tekuk – Rasio b/h	47
Gambar	5.12	Kurva hubungan Koefisien tekuk – Rasio b/h	47
Gambar	5.13	Kurva hubungan Koefisien tekuk – Rasio b/h	50

DAFTAR LAMPIRAN

Lampiran 1	Hasil uji bahan
Lampiran 2	Perhitungan batang tekan <i>light lipped channel</i>
Lampiran 3	Perhitungan tekuk distorsi
Lampiran 4	Perhitungan lebar efektif dan luas efektif
Lampiran 5	Perhitungan koefisien tekuk
Lampiran 6	Dokumentasi Pelaksanaan Pengujian
Lampiran 7	Kartu peserta tugas akhir

DAFTAR NOTASI

A	=	Luas penampang
A_g	=	Luas bruto
A_n	=	Luas penampang bersih
A_{ef}	=	Luas efektif
h	=	Tinggi badan profil
b	=	Lebar sayap profil
d	=	Panjang bibir profil
C_c	=	Kelangsingan batas
d	=	Panjang bibir
E	=	Modulus elastis
F_{cr}	=	Tegangan kritis
F_y	=	Tegangan leleh
I	=	Inersia profil
K	=	Faktor panjang tekuk
k	=	Koefisien tekuk pelat
L	=	Panjang bentang
L_k	=	Panjang tekuk
P	=	Beban
P_{cr}	=	Beban kritis
Q	=	Faktor bentuk

Q_a = Faktor bentuk elemen tekan diperkuat

Q_s = Faktor bentuk elemen tekan tidak diperkuat

r = Jari-jari inersia

t = Tebal profil

λ = kelangsingan

μ = Angka poisson

BAB I

PENDAHULUAN

1.1 Latar Belakang

Profil bentukan dingin dibuat dari plat tipis yang dibentuk menjadi profil pada saat plat tersebut dalam keadaan dingin. Salah satu penggunaan baja bentukan dingin ini yaitu pada struktur rangka atap (kuda-kuda). Pada struktur rangka atap terdapat dua elemen struktur yaitu , elemen tarik dan elemen tekan. Elemen tekan pada struktur rangka atap bisa dianggap sebagai kolom. Penampang baja bentukan dingin tersebut yang lazim digunakan pada struktur rangka atap adalah profil Lipped Channel (C). Selain itu penggunaan baja bentukan dingin (*cold formed*) sebagai elemen struktur suatu bangunan hanya terbatas untuk elemen struktur yang memikul beban ringan, karena penampang profil bentukan dingin relatif kecil dan elemen penampangnya langsing, sehingga mudah mengalami tekuk. Untuk meminimalisir terjadinya tekuk pada baja bentukan dingin (*cold formed*) sebagai batang tekan yaitu salah satunya dengan memperbesar rasio lebar sayap terhadap tinggi badan penampang (b/h). Rasio (b/h) ini akan berpengaruh pada nilai koefisien tekuk pelat (k). Sedangkan koefisien tekuk pelat (k) akan berpengaruh pada tegangan kritis (F_{cr}) dan F_{cr} akan berpengaruh pada beban kritis (P_{cr}). Profil C bentukan dingin memiliki beberapa variasi rasio lebar sayap terhadap tinggi badan penampang (b/h), yang ada dipasaran antara lain : 0,26; 0,32; 0,4; 0,46.

1.2 Rumusan masalah

Permasalahan yang dapat dirumuskan dalam penulisan tugas akhir ini adalah berapa besar pengaruh variasi lebar sayap terhadap tinggi penampang yang ada dipasaran terhadap nilai koefisien tekuk pelat profil tersebut.

1.3 Tujuan Penelitian

Tujuan penelitian eksperimental adalah :

1. Mengetahui tegangan kritis (F_{cr}) dan nilai koefisien tekuk (k) dari kolom profil lipped channel bentukan dingin yang memikul beban tekan aksial secara kosentris.
2. Mengetahui perbandingan kapasitas kolom lipped channel bentukan dingin dari masing – masing variasi rasio lebar sayap terhadap tinggi badan penampang

1.4 Manfaat Penelitian

Hasil penelitian eksperimental ini diharapkan mendapat manfaat sebagai berikut :

1. Mengembangkan pengetahuan yang sudah ada khususnya sifat batang tekan profil lipped channel bentukan dingin .
2. Memberikan informasi tentang kapasitas batang tekan profil lipped channel bentukan dingin.

1.5 Batasan Masalah

Penelitian eksperimental batang tekan profil lipped channel bentukan dingin di batasi pada masalah berikut:

1. kolom dengan beban tekan aksial secara kosentris.

2. batang tumpuan sederhana (sendi-sendu). Kolom dengan kelangsingan (kL/r) < 50, dimensi batang : $75 \times 35 \times 8 \times 1,2$; $100 \times 40 \times 8 \times 1,7$; $125 \times 40 \times 10 \times 2$; $150 \times 40 \times 11 \times 2,8$. dengan rasio b/h : 0,26 ; 0,32 ; 0,4 ; 0,46 dan rasio tebal badan terhadap tebal sayap = 1
3. Tegangan residu dari bahan tidak ditinjau

BAB II

TINJAUAN PUSTAKA

2.1 Pendahuluan

Kolom adalah komponen struktur bangunan yang menerima beban aksial tekan. (*Salmon dan Johnson, 1994*).

Tekuk lokal adalah tekuk yang terjadi pada salah satu elemen penyusun tampang suatu struktur. Tekuk terjadi akibat adanya gaya tekan yang terjadi pada struktur. Tekuk lokal menyebabkan elemen yang tertekuk tidak dapat lagi menanggung penambahan beban dengan kata lain efisiensi penampang berkurang. Keruntuhan akibat tekuk lokal ini terjadi pada batang yang langsing dimana tegangan kritis (F_{cr}) yang dimiliki oleh pelat jauh dibawah tegangan lelehnya (F_y). (*Lambert Tall, 1974*)

Kekuatan pelat tergantung pada rasio lebar terhadap tebal (b/t) dan koefisien tekuk pelat k . Semakin besar b/t maka semakin kecil kekuatan pelat, semakin kecil b/t maka semakin besar kekuatan pelat. Semakin besar nilai k maka semakin besar kekuatan pelat, semakin kecil nilai k maka semakin kecil kekuatan pelat. (*Salmon dan Johnson, 1994*)

Tekuk yang dialami oleh penampang profil *Lipped Channel* terjadi di beberapa bagian, antara lain (a) tekuk yang terjadi pada sayap, (b) tekuk yang

terjadi pada badan, (c) tekuk yang terjadi pada sayap dan badan .(*J Rhodes dan A C Walker ,1979*)

Secara umum elemen tekan plat dibedakan menjadi dua kategori yaitu, elemen yang diperkuat (elemen yang bertumpu pada dua tepi yang sejajar arah tegangan tekan) dan elemen yang tidak diperkuat (elemen yang bertumpu pada satu tepi dan bebas satu sisi lainnya yang sejajar arah tegangan tekan).(*salmon dan johnson,1994*).

Untuk batang tekan penampang I, selain dipengaruhi oleh rasio lebar sayap terhadap tinggi profil (b/h), nilai koefisien tekuk (k) juga dipengaruhi oleh rasio tebal sayap terhadap tebal badan (T/t). Semakin besar rasio lebar sayap terhadap tinggi profil (b/h) nilai k semakin besar dengan nilai $k_{maks} = 1$, sehingga kekuatan batang akan meningkat. (*N.S Trahair dan M.A Bradford ,1988*)

Nilai kekakuan terbesar terjadi pada kondisi tumpuan jepi – jepit, sedangkan nilai kekakuan terkecil terjadi pada kombinasi tumpun sederhana dan bebas. (*Lambert Tall, 1974*)

Kekuatan batang tekan dipengaruhi oleh faktor tekuk (*buckling*) atau lenturan mendadak akibat ketidakstabilan, terjadi sebelum kekuatan batang sepenuhnya tercapai. (*Salmon and Johnson, 1994*)

Penampang lintang terbuka, dinding tipis, kolom baja bentukan dingin paling sedikit mempunyai tiga ragam gaya bentuk : tekuk lokal, distorsi, dan tekuk *Euler* (lentur atau lentur-puntir). Amerika utara secara spesifikasi di dalam desain kolom baja bentukan dingin mengabaikan *tekuk lokal interaksi* dan tidak menyediakan suatu koreksi untuk tekuk *distorsi*. Prediksi tegangan tekuk pada

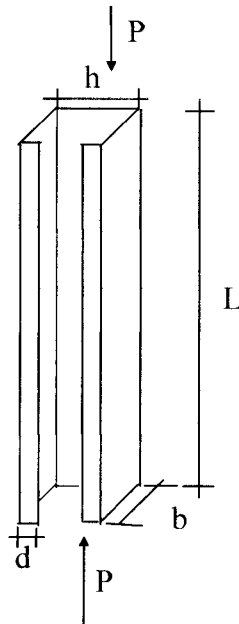
bentuk tertutup untuk gaya lokal, mencakup interaksi unsur-unsur yang dihubungkan dan gaya distorsi, mencakup pertimbangan elastis dan geometri kekakuan pada badan maupun sayap, disajikan dan ditunjukkan dengan metode numerik. Analisa numerik dan eksperimen menandai kapasitas tekuk akhir di dalam gaya distorsi adalah lebih rendah dari gaya lokal. Eksperimen pada bentukan dingin dan kolom yang tersusun menandai adanya *inkonsistensi* dan kesalahan sistematis di dalam metode desain dan memberikan pengesahan untuk metode alternatif. (*Schafer,1997*).

BAB III

LANDASAN TEORI

3.1 Kolom profil bentukan dingin

Kolom pada hakekatnya jarang sekali mengalami tekan aksial saja. namun bila pembebanan ditata sedemikian rupa hingga pengekangan (restraint) rotasi ujung dapat diabaikan atau beban dari batang – batang yang bertemu diujung kolom bersifat simetris dan pengaruh lentur sangat kecil dibandingkan tekanan langsung, maka kolom dapat direncanakan dengan aman sebagai kolom yang dibebani secara kosentris. (Salmon dan Johnson, 1994). Gambar 3.1 menunjukkan profil bentukan dingin yang memikul beban aksial secara kosentris (P). Panjang kolom (L), tinggi penampang (h), lebar sayap penampang (b), dan tebal (t).



Gambar 3.1 Kolom profil *light lipped channel*

Kolom sering juga disebut sebagai batang tekan. Apabila kolom dibebani secara kosentris maka kolom akan mengalami perubahan bentuk (depormasi), yang akan mengakibatkan keruntuhan kolom atau keruntuhan batang tekan.

Keruntuhan batang tekan dapat dibedakan menjadi 2 kategori, kedua macam keruntuhan tersebut adalah:

1. Keruntuhan yang diakibatkan tegangan lelehnya terlampaui, keruntuhan semacam ini terjadi pada batang tekan yang pendek (*stocky column*) dan penampangnya kompak.
2. Keruntuhan yang diakibatkan oleh tekuk, keruntuhan yang diakibatkan oleh tekuk terdiri dari dua macam, yaitu : (1) tekuk total (*overall buckling*), batang tekan mengalami tekuk total bila penampang batang kompak dan langsing (KL/r besar); (2) tekuk lokal (*local buckling*), batang yang mengalami tekuk lokal memiliki penampang yang tidak kompak dan elemen penampangnya langsing (rasio b/t besar).

3.1.1 Keruntuhan Akibat Tegangan Leleh Terlampaui

Pada keadaan yang umum batang tekan yang pendek dan mempunyai rasio lebar terhadap tebal (b/t) kecil dapat dibebani sampai bahan meleleh atau bahkan sampai daerah pengerasan regangan (*Strain Hardening*). Oleh karena itu keruntuhan akibat tegangan lelehnya terlampaui biasanya dijumpai pada jenis batang dengan karakteristik tersebut. Kapasitas tekan ditentukan sebagai hasil kali tegangan leleh dan luas penampang seperti ditunjukkan oleh Persamaan (3.1). Menurut *Charles G. Salmon dan Johnson (1994)* salah satu faktor yang berpengaruh pada kegagalan ini adalah luas penampang dari batang tekan

tersebut. Semakin besar luas penampang melintang batang maka kapasitas tekannya akan semakin meningkat, sehingga risiko untuk keruntuhan ini dapat diminimalisir dan sebaliknya. Biasanya pada kondisi ini $F_{cr} \geq F_y$, sehingga $F_{cr} = F_y$.

$$P_u = A_g \times F_y \quad (3.1)$$

dengan: A_g = luas penampang batang tarik, F_y = tegangan leleh baja.

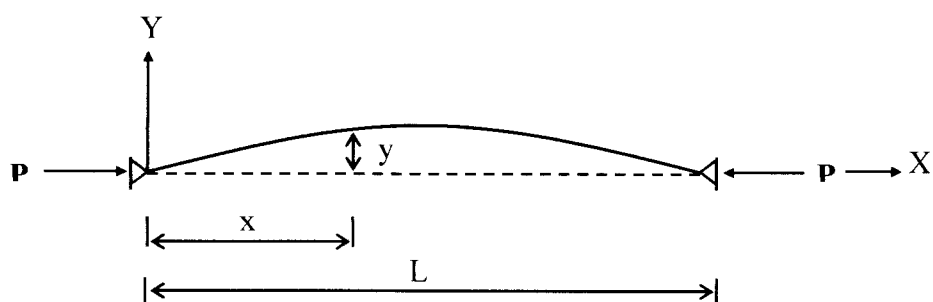
3.1.2 Keruntuhan Akibat Tekuk

Keruntuhan akibat tekuk terdiri dari 2 macam, yaitu : (a) Tekuk total dan (b) Tekuk lokal

a. Tekuk Total

Pada keruntuhan akibat tekuk ini, tegangan yang terjadi pada seluruh penampang masih dalam keadaan elastis, sehingga biasa disebut tekuk elastis.

Tekuk elastis dikemukakan oleh Leonhard Euler (1744), sebagai berikut:



Gambar 3.2 Batang tertekan

L = panjang bentang, Δ = lendutan

Berdasarkan Gambar 3.2, batang tekan yang ditinjau pada titik sejauh x mengalami deformasi lateral sebesar y dapat dihitung menggunakan pendekatan seperti pada Persamaan (3.2a) yaitu persamaan diferensial kurva elastis berikut.

$$EI \frac{d^2 y}{dx^2} = -M \quad (3.2a)$$

$$EI \frac{d^2 y}{dx^2} = -P \cdot y \quad (3.2b)$$

Persamaan (3.2b) dapat ditulis kembali menjadi

$$\frac{d^2 y}{dx^2} + \frac{P}{EI} y = 0 \quad (3.2c)$$

Penyelesaian Persamaan (3.2c) menghasilkan beban tekuk Euler (*Euler buckling load*), yaitu

$$P_{cr} = \frac{\pi^2 EI}{(KL)^2} \quad (3.3)$$

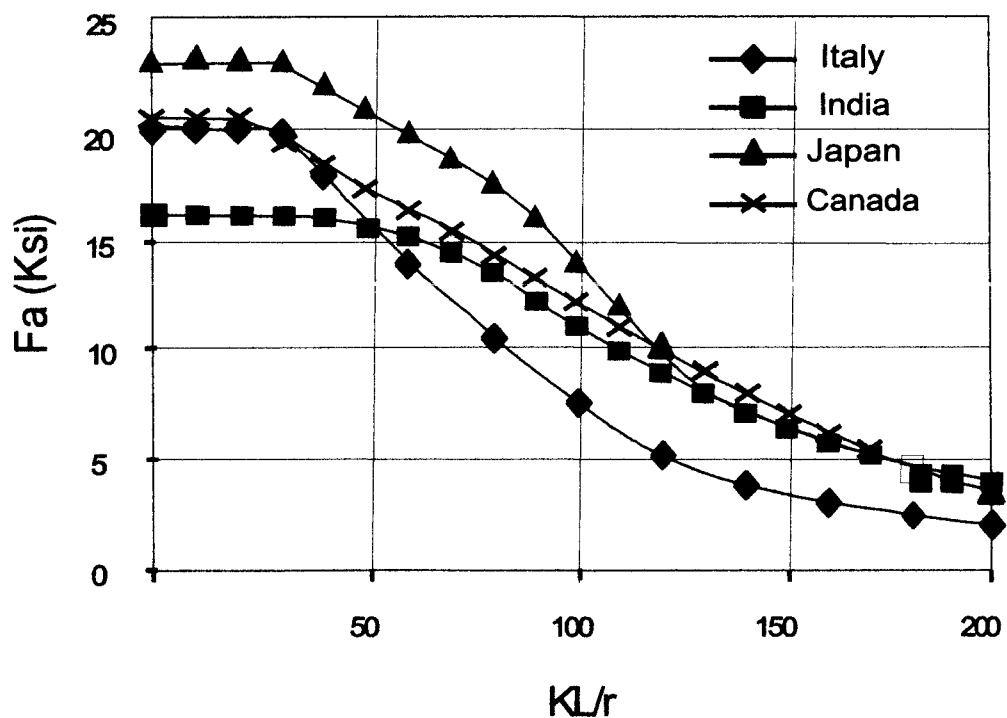
jika ruas kiri dan kanan Persamaan (3.3) dibagi dengan luas penampang (A), maka akan diperoleh tegangan tekan kritis Euler seperti terlihat pada Persamaan (3.4) berikut ini,

$$F_{cr} = \frac{\pi^2 E}{(KL/r)^2} \quad (3.4)$$

dengan: E = modulus elastisitas baja, L = panjang tekuk, dan r = jari-jari inersia minimum = $\sqrt{\frac{I}{A}}$, I = inersia bahan. Berdasarkan Persamaan (3.4) terlihat bahwa tegangan kritis batang tekan berbanding terbalik dengan kuadrat kelangsingan

(KL/r), sehingga semakin langsing batang tekan tegangan kritisnya akan semakin kecil.

Kurva tegangan ijin (F_a) fungsi kelangsingan (KL/r) pada kolom di beberapa negara yaitu: Italia, India, Jepang dan Kanada menunjukkan grafik hubungan yang hampir sama seperti terlihat pada Gambar 3.3. Penurunan tegangan ijin batang relatif kecil pada KL/r kecil (0 s/d ± 40), penurunan tegangan ijin batang terjadi besar seiring dengan penambahan KL/r untuk $KL/r = \pm 40$ sampai dengan ± 160 , dan menjadi relatif datar untuk KL/r lebih dari ± 160 .



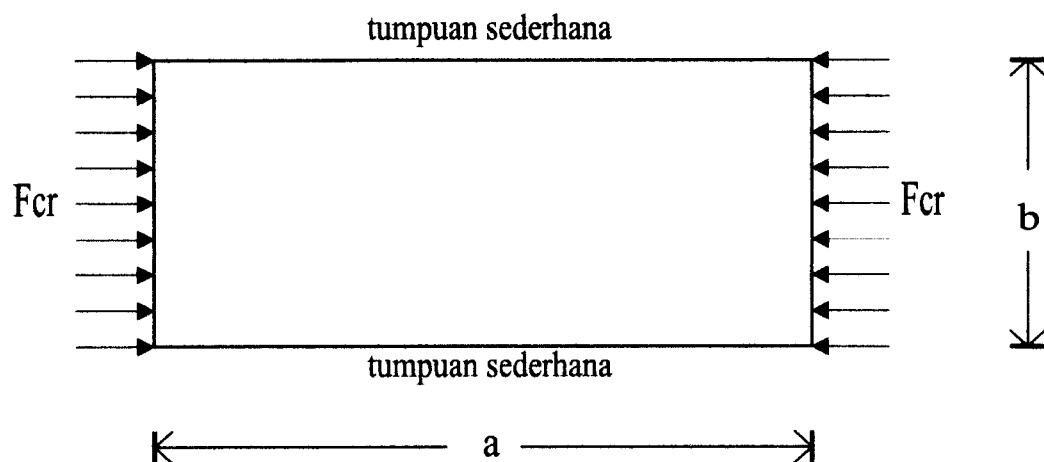
Gambar 3.3 Grafik hubungan KL/r dengan F_a di beberapa negara (Lambert Tall, 1974)

b. **Tekuk Lokal**

Lambert Tall (1974) mengemukakan tekuk lokal adalah tekuk yang terjadi pada salah satu elemen penyusun tampang suatu struktur yang menyebabkan elemen yang tertekuk tidak dapat lagi menanggung penambahan beban, dengan kata lain efisiensi penampang berkurang. Keruntuhan akibat tekuk lokal ini terjadi pada penampang yang langsing dimana tegangan kritis (F_{cr}) yang dimiliki oleh plat jauh di bawah tegangan lelehnya (F_y). Pendapat yang sama juga dikemukakan oleh *Charles G. Salmon dan Johnson (1994)*, tegangan tekuk elastik teoritik atau tegangan kritis plat yang tertekan terlihat pada Gambar 3.4 dan dapat dinyatakan dengan Persamaan (3.5).

$$F_{cr} = k \frac{\pi^2 E}{12(1 - \mu^2)(b/t)^2} \quad (3.5)$$

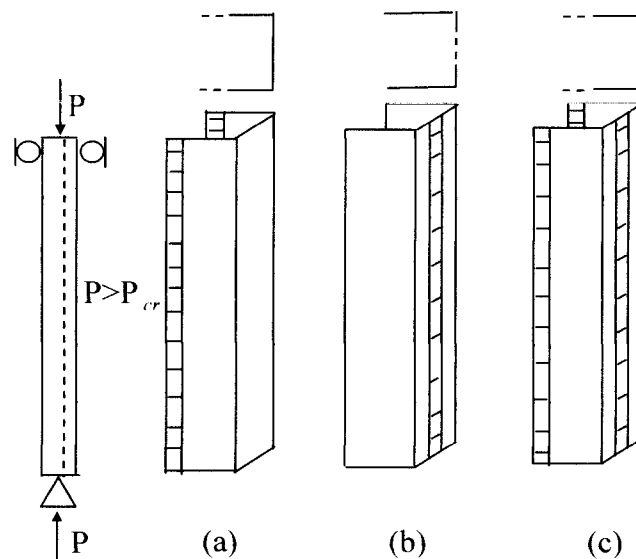
dengan : F_{cr} = tegangan kritis, k adalah koefisien tekuk, $\pi = 3,14$, E adalah modulus elastisitas baja, μ adalah rasio poisson = 0,3, dan b/t adalah rasio lebar terhadap tebal plat.



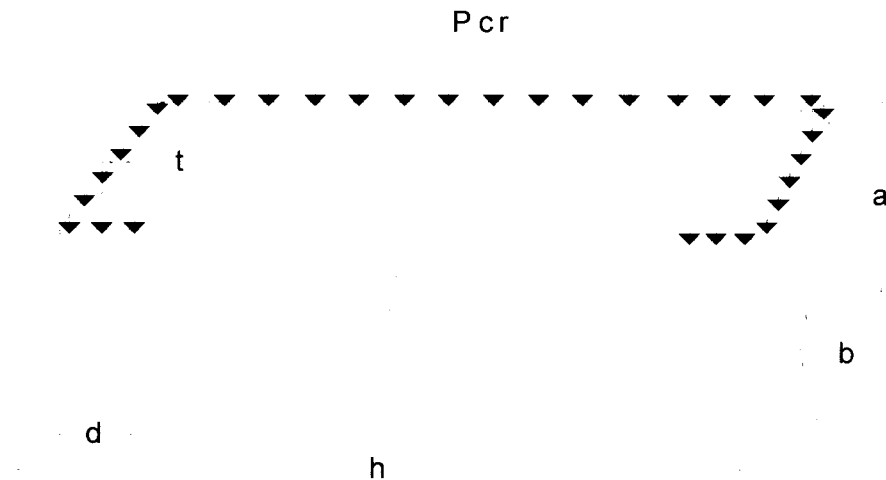
Gambar 3.4. Plat tumpuan sederhana

Berdasarkan Persamaan (3.4) tegangan kritis elemen tekan dipengaruhi koefisien tekuk (k) dan rasio lebar terhadap tebal pelat (b/t). Tegangan kritis juga dipengaruhi aspek rasio yaitu rasio panjang terhadap lebar pelat (a/b). Semakin besar aspek rasio dan rasio lebar terhadap tebal pelat (b/t), koefisien tekuk semakin kecil sehingga menyebabkan terjadinya tekuk lokal pada penampang profil di bagian sayap maupun di bagian badan.

Menurut **J Rhodes dan A C Walker (1979)** tekuk yang dialami oleh penampang kolom profil *Channel* terjadi di beberapa bagian, antara lain (a) tekuk yang terjadi pada sayap, (b) tekuk yang terjadi pada badan, (c) tekuk yang terjadi pada sayap dan badan. Gambar 3.5 menunjukkan penampang profil *Lipped Channel* yang mengalami tekuk.



Gambar 3.5 Penampang kolom profil *channel* di pasca tekuk lokal



Gambar 3. 6 Profil *Lipped Channel*

dengan: h = tinggi badan, b = lebar sayap, d = panjang lip, t = tebal profil, E = modulus elastis ($2 \cdot 10^5$ Mpa), μ = rasio poisson (0,3)

Ragam interaksi tekuk lokal, antara lain:

1) Tekuk Lokal Lip

Bibir profil *lipped channel* dianggap sebagai plat yang salah satu sisinya bebas dan sisi lainnya dianggap sebagai dukungan sederhana. Sesuai dengan notasi pada Gambar 3.6. Tegangan kritis bibir dinyatakan dalam Persamaan (3.6). Nilai rasio panjang terhadap lebar plat (a/b) yang besar dan plat memikul tekanan murni maka nilai koefisien tekuk (k) untuk bibir profil, $k = 0,425$.

$$F_{cr\text{lip}} = k_{\text{lip}} \cdot \frac{\pi^2 \cdot E}{12 \cdot (1 - \mu^2) \left(\frac{d}{t}\right)^2} \quad (3.6)$$

2) Tekuk Lokal Sayap

perhitungan tegangan kritis untuk sayap dengan menganggap kedua sisinya sebagai tumpuan sederhana, ditunjukkan oleh Persamaan (3.7) sebagai berikut :

$$F_{cr \text{ sayap}} = k_{\text{sayap}} \cdot \frac{\pi^2 \cdot E}{12 \cdot (1 - \mu^2) \left(\frac{b}{t}\right)^2} \quad (3.7)$$

Untuk rasio panjang terhadap lebar plat (a/b) yang besar dan plat mendapat tekanan murni, maka koefisien tekuk pelat (k) = 4.

3) Tekuk Lokal Badan

Tegangan kritis untuk plat badan yang kedua sisinya dianggap sebagai tumpuan sederhana serta rasio panjang terhadap lebar plat (a/b) besar dan menerima tekanan murni, koefisien tekuk pelat (k) = 4, ditunjukkan pada Persamaan (3.8) berikut :

$$F_{cr \text{ badan}} = k_{\text{badan}} \cdot \frac{\pi^2 \cdot E}{12 \cdot (1 - \mu^2) \left(\frac{h}{t}\right)^2} \quad (3.8)$$

Nilai koefisien tekuk plat (k) pada badan, $k = 4$, maka Persamaan (3.7) dapat digunakan untuk mencari tegangan kritis badan dengan mengganti nilai b dengan nilai h . Sedangkan pada penelitian ini nilai tegangan kritis dipengaruhi nilai beban dibagi luasan, seperti pada persamaan (3.9) berikut :

$$F_{cr} = \frac{P}{A} \quad (3.9)$$

3.1.3 Nilai Koefisien Tekuk (k)

Nilai koefisien tekuk dari suatu kolom hanya bisa ditinjau pada kolom yang mengalami kerusakan akibat tekuk, baik akibat tekuk menyeluruh maupun akibat tekuk lokal.

Pada kondisi tekuk lokal , nilai k dipengaruhi oleh rasio lebar terhadap tebal (b/t) dan bisa didapat dengan persamaan dibawah ini.

$$k = \frac{F_{cr} \cdot 12 \cdot (1 - \mu^2) (b/t)^2}{\pi^2 \cdot E} \quad (3.9)$$

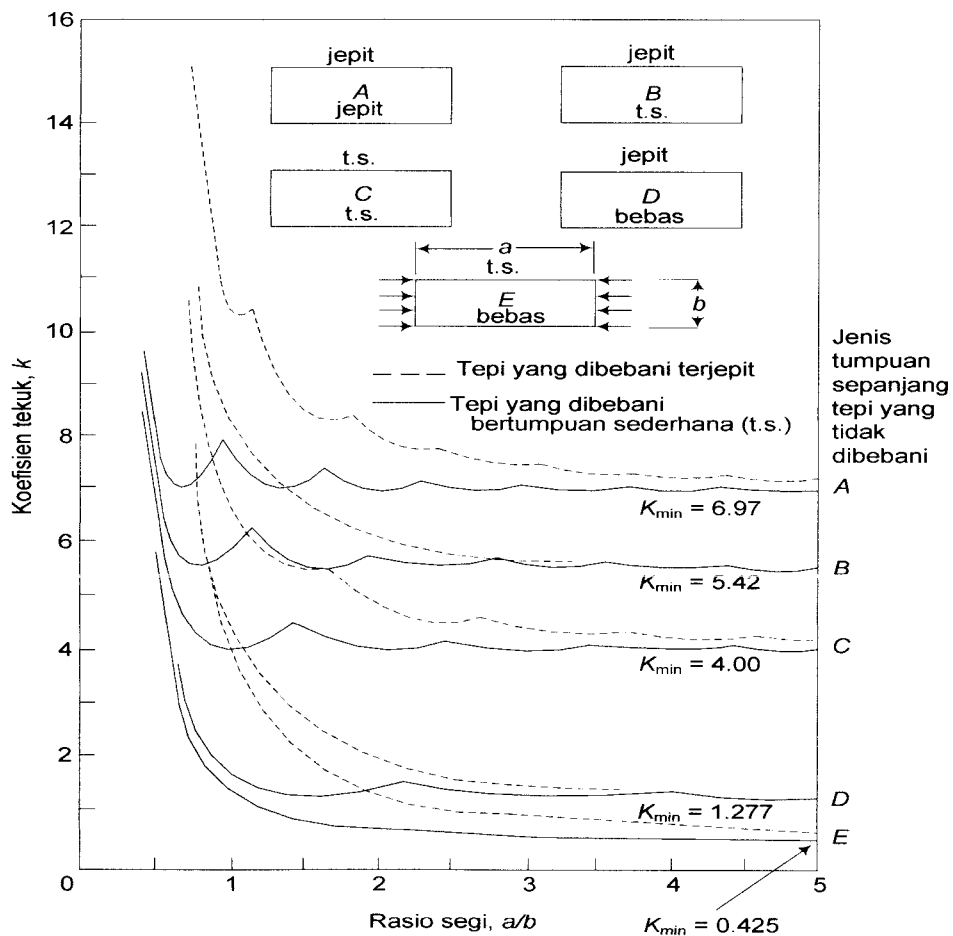
Pada kondisi tekuk total nilai koefisien tekuk (k) dipengaruhi oleh kelangsingan dari batang profil yang dapat diketahui menggunakan Persamaan (3.10). Dari persamaan (3.4) koefisien tekuk k dapat ditulis

$$k = \sqrt{\frac{\pi^2 \cdot E}{F_{cr} (L/r)}} \quad (3.10)$$

dimana F_{cr} dinyatakan sebagai gaya batang dibagi luas profil (P_{cr} / A). Pada kegagalan akibat tekuk lokal, nilai koefisien tekuk (k) untuk elemen tekan plat dipengaruhi oleh kondisi tepi elemen plat dan rasio panjang terhadap lebar plat (a/b) seperti terlihat pada Gambar 3.4. Nilai koefisien tekuk (k) untuk berbagai kondisi tumpuan elemen plat diberikan pada Gambar 3.7.

Berdasarkan Gambar 3.4 dan Gambar 3.7, nilai rasio panjang terhadap lebar plat (a/b) yang lebih besar dari lima untuk setiap kondisi tumpuan elemen plat, memiliki nilai koefisien tekuk (k) yang hampir konstan dan nilai koefisien tekuk (k) yang digunakan adalah k_{minimum} (k_{min}). Untuk plat yang kedua sisinya merupakan tumpuan jepit (A) nilai $k_{\text{min}} = 6,97$, untuk plat yang salah satu sisinya tumpuan sederhana dan sisi lainnya tumpuan jepit (B) nilai $k_{\text{min}} = 5,42$. Sedangkan plat yang kedua sisinya tumpuan sederhana (C) nilai $k_{\text{min}} = 4$, untuk plat yang salah satu sisinya tumpuan jepit dan sisi lainnya bebas (D) nilai $k_{\text{min}} = 1,277$, serta untuk plat yang salah satu sisinya tumpuan sederhana dan sisi lainnya bebas (E) nilai $k_{\text{min}} = 0,425$.

Nilai koefisien tekuk (k) mendekati nilai 0,425 untuk plat yang salah satu sisinya tidak diperkuat, seperti yang dimiliki oleh bibir (*lips*) dan untuk plat yang kedua sisinya ditumpu oleh tumpuan sederhana memiliki nilai $k = 4$ dimiliki oleh badan. Tampak bahwa nilai k untuk bibir mendekati $1/10$ dari nilai k yang dimiliki oleh badan.



Gambar 3.7 Koefisien tekuk elastis untuk tekanan pada plat segi empat datar (dikutip dari Struktur Baja Disain Dan Perilaku, Salmon dan Johnson (1994))

Schafer (1997) mengemukakan nilai koefisien tekuk (k) untuk tekuk lokal dapat diketahui dengan analisa potongan, terbatas pada sayap tepi dan sayap badan. Sesuai dengan notasi yang digunakan dalam Gambar 3.6 nilai koefisien

tekuk (k) dipengaruhi oleh rasio tinggi terhadap lebar profil (h/b). Nilai koefisien tekuk (k) diambil dari nilai koefisien tekuk (k) terkecil hasil perhitungan Persamaan (3.11), Persamaan (3.12), dan Persamaan (3.13), sehingga kekuatan plat akibat tekuk lokal dapat diketahui menggunakan Persamaan (3.5).

a. Koefisien tekuk Sayap Tepi

Sesuai dengan notasi Gambar 3.6 nilai koefisien tekuk (k) untuk tekuk lokal sayap tepi dapat dihitung menggunakan Persamaan (3.11) seperti yang dikemukakan oleh *Schafer (1997)* berikut,

$$k_{\text{sayap_tepi}} = -11,07\left(\frac{d}{b}\right)^2 + 3,95\left(\frac{d}{b}\right) + 4 \quad (3.11)$$

b. Koefisien tekuk Sayap Badan

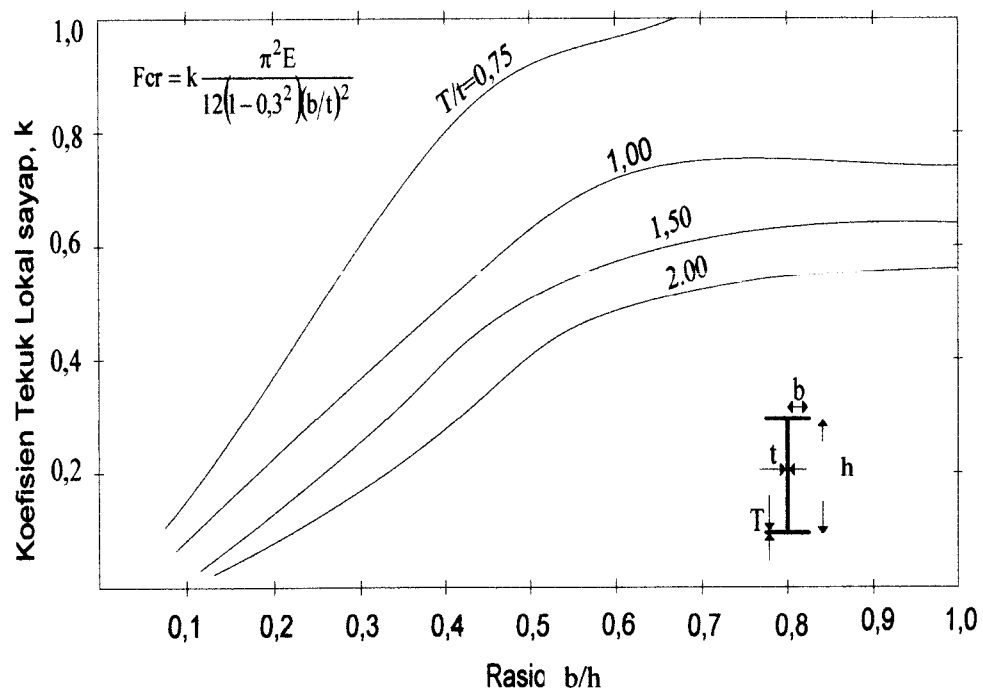
Nilai koefisien tekuk (k) untuk tekuk lokal sayap badan menurut *Schafer (1997)* dinyatakan dalam Persamaan (3.12) dan Persamaan (3.13). Dari persamaan-persamaan tersebut jika rasio tinggi badan terhadap lebar sayap (h/b) ≥ 1 maka nilai koefisien tekuk (k) ≤ 4 . Berdasarkan Gambar 7. untuk nilai $k = 4$ potongan elemen ini dianggap kedua sisinya sebagai tumpuan sendi. Jika $h/b < 1$ maka nilai k lebih dari 4.

$$k_{\text{sayap_badan}} = \left[\left[2 - \left(\frac{b}{h}\right)^{0.4} \right], 4, \left(\frac{b}{h}\right)^2 \right] \quad \text{jika } \frac{h}{b} \geq 1 \quad (3.12)$$

$$\left[\left[2 - \left(\frac{h}{b}\right)^{0.2} \right], 4 \right] \quad \text{jika } \frac{h}{b} < 1 \quad (3.13)$$

Kerusakan akibat tekuk dapat dicegah dengan memperkecil rasio lebar terhadap tebal pelat (b/t) sehingga meningkatkan koefisien tekuk (k). Nilai-nilai koefisien tekuk elastis k untuk penampang I pada tekanan yang sama ditunjukkan pada Gambar 3.8. Menurut *N.S Trahair* dan *M.A Bradford (1988)*, tegangan tekuk dapat diketahui menggunakan Persamaan (3.5) dengan mengganti tebal pelat sebagai tebal sayap T .

Tampak pada Gambar 3.8 bahwa untuk batang tekan penampang I, selain dipengaruhi oleh rasio lebar sayap terhadap tinggi profil (b/h), nilai koefisien tekuk (k) juga dipengaruhi oleh rasio tebal sayap terhadap tebal badan (T/t). Semakin besar rasio lebar sayap terhadap tinggi profil (b/h) nilai k semakin besar dengan nilai $k_{maks} = 1$, sehingga kekuatan batang akan meningkat



Gambar 3.8 Koefisien tekuk lokal untuk batang tekan penampang I (N.S Trahair dan M.A. Bradford, 1988)

Nilai-nilai koefisien tekuk k untuk penampang I pada tekanan yang sama ditunjukkan pada Gambar 3.9. Menurut *Blaic (1952)*, koefisien tekuk dapat diketahui dengan menggunakan persamaan (3.14) dan persamaan (3.15)

$$\sqrt{k} = 2 + \frac{2}{10\zeta + 4} \text{ jika } \frac{h}{t} \leq b\sqrt{k} \quad (3.14)$$

$$\sqrt{k} = 0,65 + \frac{2}{3\zeta + 4} \text{ jika } \frac{b}{t} \leq h\sqrt{k} \quad (3.15)$$

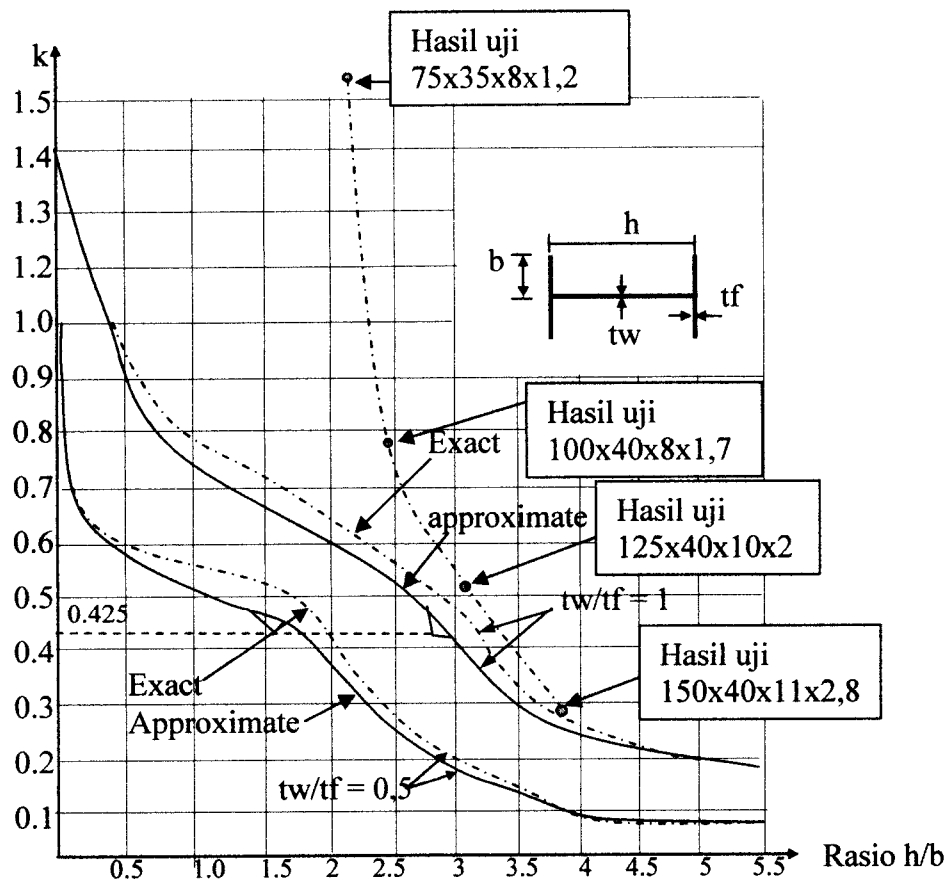
Dimana ζ = koefisien pengeang (*coeficient of restraint*) dapat dihitung dari persamaan (3.16) dan (3.17)

$$\zeta = 2 \frac{t^3}{t_f^3} \frac{0,16 + 0,0056(h/b)^2}{1 - 9,4 \frac{t^2}{t_f^2} \frac{b^2}{h^2}} \text{ jika } 9,4 \frac{t^2 b^2}{t_f^2 h^2} \leq 1 \quad (3.16)$$

$$\zeta = \frac{t_f^3 h}{t^3 b} \frac{1}{1 - 0,106 \frac{t^2}{t_f^2} \frac{b^2}{h^2}} \text{ jika } 9,4 \frac{t^2 b^2}{t_f^2 h^2} \geq 1 \quad (3.17)$$

Dimana t_f = tebal sayap, h = tinggi badan dan b = lebar sayap. Gambar (3.9) menunjukkan hubungan antara nilai k dengan rasio h/b dengan rasio ketebalan $\frac{t_w}{t_f} = 1$ dan $\frac{t_w}{t_f} = 0,5$. Garis putus-putus menunjukkan nilai kebenaran(exact) dan garis tebal menunjukkan nilai perkiraan(approximate). Dengan persamaan tegangan kritis(P_{cr}) menggunakan persamaan (3.18). Dan nilai k menggunakan persamaan (3.14) dan (3.15)

$$P_{cr} = \frac{\pi^2 E \sqrt{\tau}}{12 - (1 - \nu^2)} \left(\frac{t_f}{b}\right)^2 k \quad (3.18)$$



Gambar 3.9. Hubungan nilai koefisien tekuk pelat dengan rasio h/b (dikutip dari buku Bleich (1952))

3.2 Elemen – elemen tertekan yang tidak diperkuat

Elemen – elemen pelat yang tidak diperkuat memiliki pengaruh yang besar pada perubahan bentuk atau deformasi dipusat pasca tekuk dan kekuatannya memungkinkan untuk dibentuk oleh tegangan tekuk.

Perkembangan tekanan yang menitikberatkan pada elemen – elemen plat tanpa pengaku digambarkan pada gambar 3.10. Garis tebal pada kurva menggambarkan kekuatan dari tekuk. Garis kurva ini terdiri dari tiga bagian. (Lambert Tall, 1974) Yaitu :

1. $0 < b/t < \frac{24,11}{\sqrt{F_y}} (Mpa)$; $F_u = F_y$, yaitu plat tidak menekuk sebelum mencapai

titik patah.

2. $\frac{24,11}{\sqrt{F_y}} (Mpa) < b/t < \frac{54,84}{\sqrt{F_y}} (Mpa)$; kurva transisi garis lurus. Perbedaan pada

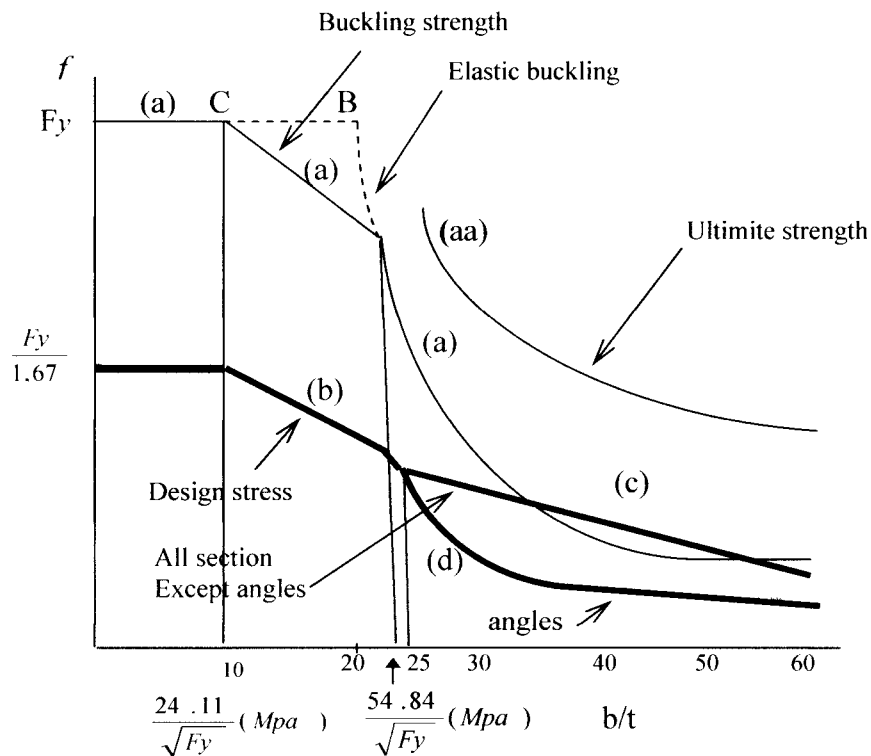
bagian – bagian profil canai panas, penurunan tidak begitu besar dipengaruhi oleh tegangan residu. Dibagian ini plat – plat menekuk secara tak elastis dan pada intinya tidak memiliki kekuatan pasca penekukan.

3. $b/t < \frac{54,84}{\sqrt{F_y}} (Mpa)$; plat – plat menekuk secara elastis. Karena pada

kebanyakan kasus plat kembali meregang satu sama lainnya, disini dipakai koefisien tekuk suatu plat 0,5. garis lurus ini sedikit lebih tinggi 0, 425 dari garis yang digunakan pada plat – plat yang hanya didukung disatu sisi tepi plat. Jarak plat ini menunjukkan adanya peningkatan kekuatan pasca penekukan yang terlihat pada perbedaan antara garis (kurva a) dan (kurva aa).

Kekuatan akhir kurva (aa) dihitung dari persamaan (3.19), yang memberi lebar efektif.

$$\frac{b_e}{b} = 1,19 \sqrt{\frac{F_{cr}}{f_{maks}}} \left(1 - 0,30 \sqrt{\frac{F_{cr}}{f_{maks}}} \right) \quad (3.19)$$



Gambar 3.10. Tegangan ijin untuk elemen – elemen tertekan tanpa pengaku. (Country of AISI)

3.3 Elemen – elemen tertekan yang diperkuat

Elemen- elemen yang dikakukan atau diperkuat (plat – plat yang ditunjang dikedua tepinya) meningkatkan kekuatan pasca penekukan tanpa penyimpangan berlebihan, dan desainnya didasarkan pada kekuatan pasca penekukan ini memakai konsep lebar efektif (**Lambert Tall,1974**). Rumus perhitungan lebar efektif diberikan pada persamaan 3.20.

$$\frac{b_e}{b} = \frac{849,7}{\sqrt{f}} \left(1 - \frac{185}{(b/t)\sqrt{f}} \right) \tag{3.20}$$

Dimana f_{maks} adalah tegangan tepi. f_{maks} diambil sebagai pambagi secara keseluruhan diatas lebar efektif.

Seperti persamaan 3.20, lebar efektif bukan hanya tergantung pada rasio lebar terhadap tebal saja melainkan juga pada tegangan tepi (f_{maks}).

Dari persamaan 3.20 dengan asumsi $b_e = b$ maka didapat persamaan,

$$\frac{b}{t} = \frac{576}{\sqrt{f_{maks}}} \quad (3.21)$$

Dari persamaan 3.21 bila $b/t < 60$ maka

$$\frac{b'_e}{t} = \frac{b_e}{t} - 0,10 \left(\frac{b}{t} - 60 \right) \quad (3.22)$$

Bila $60 < b/t < 90$ maka

$$A_{efektif} = \left[\left(3 - 2 \frac{b}{t} \right) - \frac{1}{30} \left(1 - \frac{b'_e}{b} \right) \left(\frac{b}{t} \right) \right] A \quad (3.23)$$

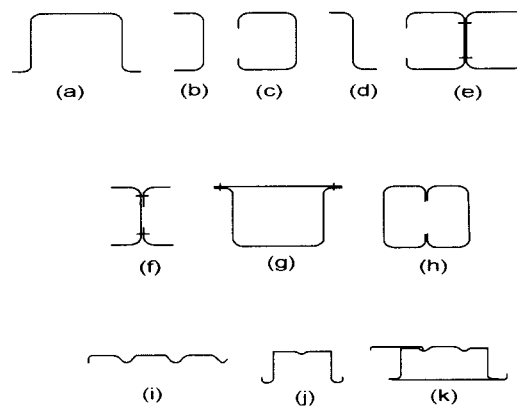
3.4 Penampang profil bentukan dingin

Penampang batang (profil) merupakan element struktur yang berpengaruh terhadap penempatan fungsi yang harus dipenuhi oleh struktur, agar sesuai dengan fungsi struktur maka pemilihan penampang harus didasari oleh fungsi dari struktur, dan beban yang harus dipikul.

Penampang batang yang terbuat dari potongan atau baja-pelat bentukan dingin (*cold-formed members*) digunakan secara luas didalam konstruksi. Suatu karakteristik yang baik dari baja bentukan dingin adalah dapat dibentuk ke dalam suatu variasi melintang yang besar dibentuk bersekat-sekat dengan penggunaan peralatan sederhana. Perlindungan dari bagian bentukan dingin untuk melawan terhadap karatan sangat mudah yaitu dengan menggembleng atau lebih baik dilapisi dengan pelat logam sebelum pembuatan. (*Lambert tall,1974*)

Gambar 3.11 menunjukkan profil bentukan dingin ukuran ringan dapat dibedakan menjadi tiga kelompok (*Lambert Tall,1974*), yaitu :

1. Bagian a sampai d, bentuk sederhana
2. Bagian e sampai h, bentuk penuh
3. Bagian i sampai k, bentuk panel atau dek.

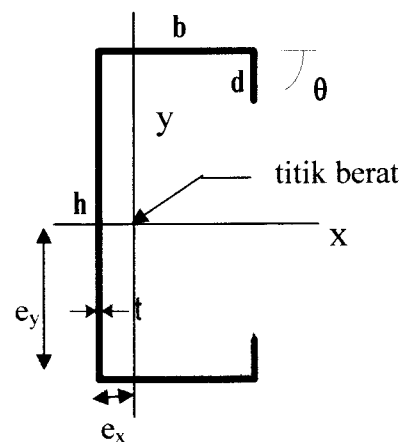


Gambar. 3.11 Profil bentukan dingin

Pada penelitian ini penampang yang digunakan adalah baja bentukan dingin dengan profil lipped channel.

3.5 Penampang lintang lipped Channel

Sifat penampang (*Section Properties*) dari profil *lipped channel* seperti terlihat pada Gambar 3.12, yang meliputi: (a) luas penampang, (b) momen inersia dan (c) jari-jari inersia, dapat dihitung menggunakan persamaan-persamaan di bawah ini.



Gambar 3.12 Profil *Lipped Channel*

luas penampang profil (A)

$$A = t \times (h + 2b + 2d) \quad (3.24)$$

$$e_y = \frac{1}{2} \cdot h \quad (3.25)$$

$$e_x = \frac{b \cdot (b + 2 \cdot d)}{h + 2 \cdot b + 2 \cdot d} \quad (3.26)$$

momen inersia terhadap sumbu X

$$I_x = \frac{1}{12} \cdot t \cdot h^3 + \frac{1}{2} \cdot b \cdot t \cdot h^2 + \frac{2}{3} \cdot d^3 \cdot t + \frac{1}{2} \cdot d \cdot t \cdot h^2 - d^2 \cdot t \cdot h + \frac{1}{6} \cdot b \cdot t^3 \quad (3.27)$$

momen inersia terhadap sumbu Y

$$I_y = \frac{1}{12} .ht^3 + \frac{2}{3} .t.b^3 + \frac{1}{6} .dt^3 + 2.dt.b^2 - (ht + 2.bt + 2.dt).b^2 . \frac{(b + 2.d)^2}{(h + 2.b + 2.d)^2} \quad (3.28)$$

jari-jari inersia terhadap sumbu X

$$i_x = r_x = \sqrt{\frac{I_x}{A}} \quad (3.29)$$

jari-jari inersia terhadap sumbu Y

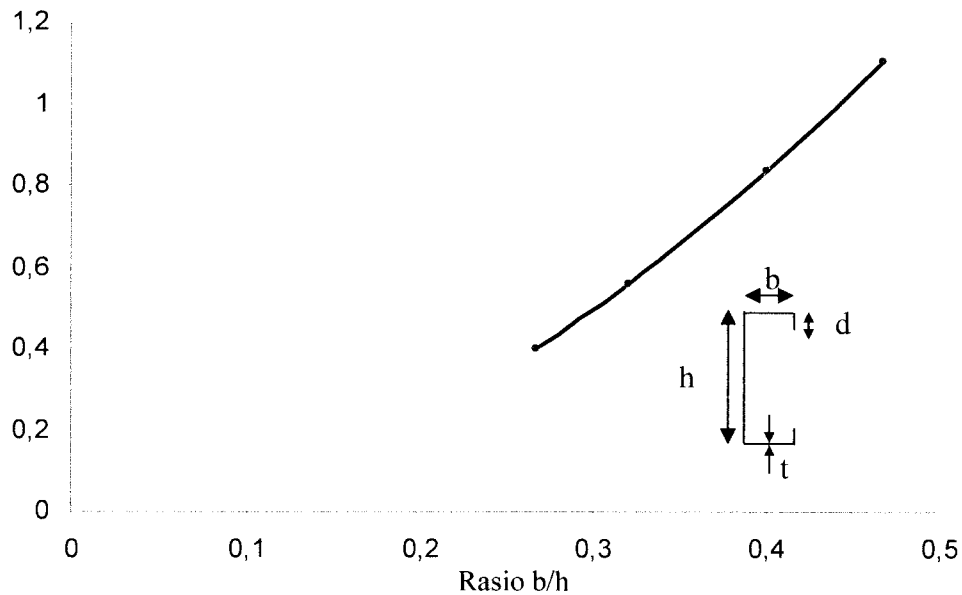
$$i_y = r_y = \sqrt{\frac{I_y}{A}} \quad (3.30)$$

3.6 Pengaruh rasio lebar terhadap tinggi penampang

Rasio lebar sayap terhadap tinggi badan berpengaruh pada koefisien tekuk lokal, jika $h/b = 1$ maka nilai $k = 4$. Jika $h/b > 1$ maka nilai k kurang dari 4 dalam kaitannya dengan tekuk pada badan. Jika $h/b < 1$ maka nilai k lebih dari 4 dalam kaitannya dengan pengekangan oleh badan pada sayap

Variasi rasio lebar terhadap tinggi penampang ditunjukkan pada gambar (3,13; 3,14; 3,15; 3,16)

Gambar 3.17 menunjukkan pengaruh nilai rasio lebar terhadap tinggi penampang terhadap nilai koefisien tekuk pelat (k). Dengan menggunakan persamaan 3.12.



Gambar 3.17 grafik hubungan b/h – nilai koefisien tekuk pelat(k)

3.7 Hipotesis

Berdasarkan kajian dari pustaka dan landasan teori dapat dikemukakan hipotesis sebagai berikut. Bahwa nilai k merupakan fungsi dari rasio b/h dan F_{cr} merupakan fungsi dari nilai k . Sehingga nilai k dan F_{cr} dipengaruhi oleh rasio b/h .

BAB IV METODOLOGI PENELITIAN

4.1 Metodologi Penelitian

Metode penelitian adalah suatu urutan atau tata cara pelaksanaan penelitian dalam rangka mencari jawaban atas permasalahan penelitian yang akan dilakukan.

4.2 Bahan dan Alat yang digunakan

Untuk kelancaran penelitian diperlukan beberapa peralatan dan bahan yang digunakan sebagai sarana untuk mencapai maksud dan tujuan penelitian. Adapun bahan dan alat yang dipergunakan adalah sebagai berikut.

4.2.1 Bahan

Bahan yang digunakan adalah kolom yang menggunakan baja profil *Lipped Channel* bentukan dingin. Dengan variasi dimensi : $75 \times 35 \times 10 \times 1,2$; $100 \times 40 \times 10 \times 1,7$; $125 \times 40 \times 10 \times 2$; $150 \times 40 \times 11 \times 2,8$,dengan kelangsingan batang (kl/r) < 50 . panjang batang 10, 20, 30, 40, 50, 60 cm.

4.2.2 Peralatan Penelitian

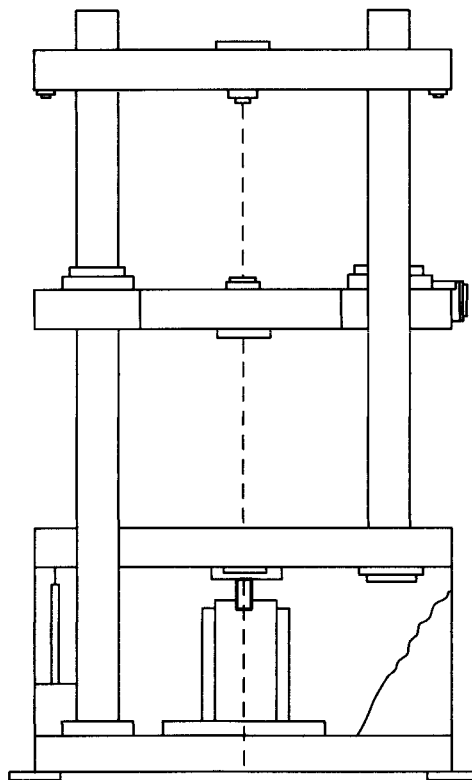
Peralatan-peralatan yang dipergunakan dalam penelitian ini adalah:

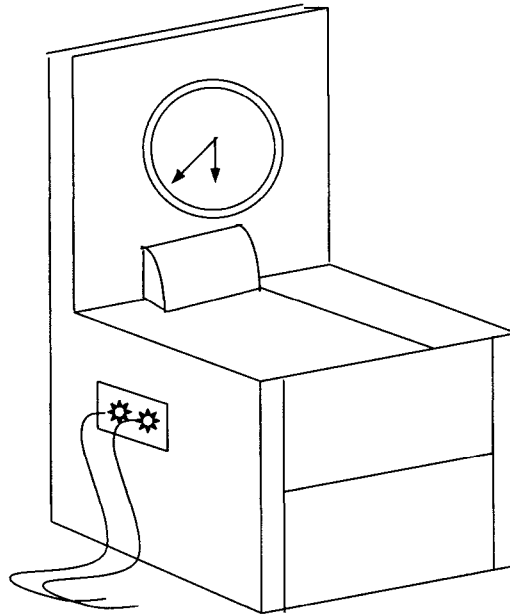
a. Alat Pengukur

Alat ukur yang digunakan untuk mengukur dimensi kolom benda uji.

b. Mesin Uji Tarik dan Uji Tekan

Digunakan untuk mengetahui kuat tarik baja. Pada penelitian ini digunakan UNIVERSAL TESTING MATERIAL (UTM) merk SHIMATSU type UMH 30, kapasitas 30 ton, seperti pada Gambar 4. 1 :



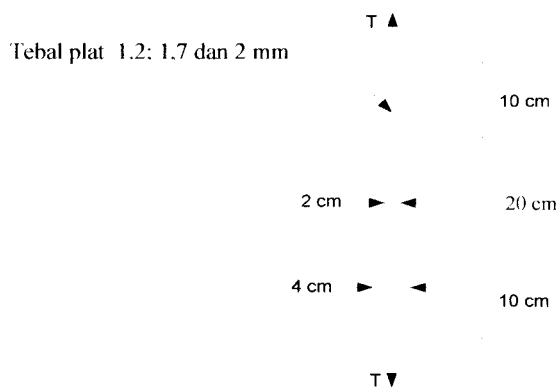


Gambar 4. 1 Universal Testing Material Shimatzu UMH30

4.3 Pembuatan Benda Uji

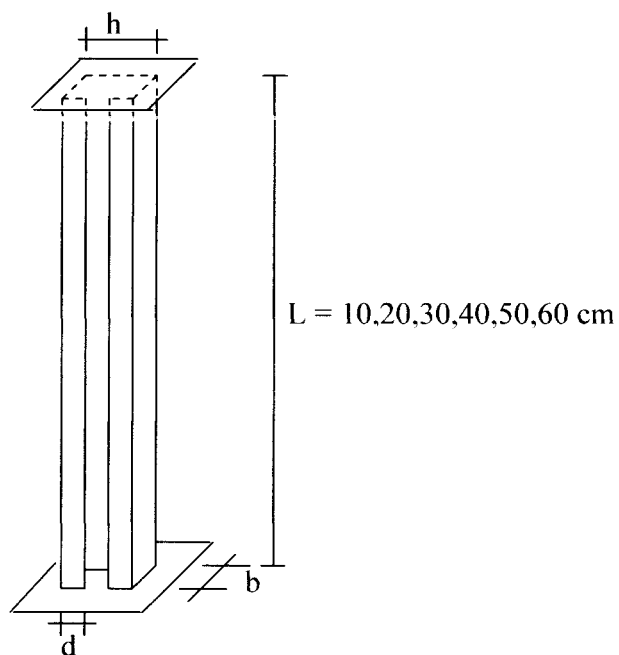
Benda uji yang akan digunakan dalam penelitian dibuat terlebih dahulu kemudian dilakukan pengujian di laboratorium, benda uji tersebut berupa:

- a. Tiga benda uji kuat tarik baja yang diambil dari profil



Gambar 4. 2 Benda Uji Kuat Tarik Baja

- b. Empat puluh delapan benda uji kuat tekan yang digunakan dari profil C
75x35x8x1,2; 100x40x8x1,7; 125x40x10x2; 150x40x11x2,8



Gambar 4. 3 Benda Uji Kuat Tekan Baja

BAB V

HASIL PENELITIAN DAN PEMBAHASAN

5.1 Hasil Pengujian Kuat Tarik Baja

Benda uji kuat tarik baja menggunakan profil *lipped channel* $75 \times 35 \times 8 \times 1,2$; $100 \times 40 \times 8 \times 2$; $125 \times 40 \times 10 \times 2$; $150 \times 40 \times 11 \times 2$ yang dibentuk sesuai dengan bentuk benda uji sebanyak dua belas benda uji. Pelaksanaan pengujian menggunakan alat *Universal Testing Machine (UTM)* Merk *Shimatzu Type UMH-30* yang dilakukan di Laboratorium Bahan Konstruksi Teknik, Fakultas Teknik Sipil dan Perencanaan, Universitas Islam Indonesia. Hasil pengujian didapat data beban leleh dan beban maksimum dari benda uji pada Lampiran 1 dan hasil perhitungan tegangan leleh dan tegangan tarik benda uji seperti Tabel 5.1.

Tabel 5. 1 Hasil uji kuat tarik baja profil C $75 \times 35 \times 8 \times 1,2$

Nilai hasil uji	Benda uji 1	Benda uji 2	Benda uji 3	Rata - Rata
Beban leleh (KN)	9,2	9,85	9,30	9,45
Beban maksimum (kN)	12	13,6	12,95	12,85
Tegangan Leleh(Fy) (Mpa)	379,05	402,62	380,14	386,27
Tegangan maksimum (Fu) (Mpa)	490,50	555,90	529,33	525,24

Tabel 5. 2 Hasil uji kuat tarik baja profil C 100×40×8×1,7

Nilai hasil uji	Benda uji 1	Benda uji 2	Benda uji 3	Rata - Rata
Beban leleh (KN)	13,20	13,30	8,80	11,767
Beban maksimum (kN)	18,50	18,80	13,50	16,933
Tegangan Leleh(Fy) (Mpa)	380,86	383,74	253,91	339,50
Tegangan Maksimum (Fu)	533,78	542,44	389,51	488,58

Tabel 5. 3 Hasil uji kuat tarik baja profil C 125×40×10×2

Nilai hasil uji	Benda uji 1	Benda uji 2	Benda uji 3	Rata - Rata
Beban leleh (KN)	12,75	13,30	10,70	12,25
Beban maksimum (KN)	16,75	16,70	14,85	16,10
Tegangan Leleh (Fy) (Mpa)	312,69	326,18	262,42	300,43
Tegangan maksimum (Fu) (Mpa)	410,79	409,57	364,20	394,85

Tabel 5. 4 Hasil uji kuat tarik baja profil C 150×40×11×2,8

Nilai hasil uji	Benda uji 1	Benda uji 2	Benda uji 3	Rata - Rata
Beban leleh (KN)	14,25	14,10	14,35	14,233
Beban maksimum (KN)	16,75	16,70	16,85	16,767
Tegangan Leleh(Fy) (Mpa)	232,99	230,54	234,62	249,34
Tegangan Maksimum (Fu)	273,86	273,05	275,50	293,72

5.2 Hasil Pengujian Kuat Tekan Baja

Benda kuat tekan baja dari profil *lipped channel* 75×35×8×1,2 ; 100×40×8×2 ; 125×40×10×2 ; 150×40×11×2 mm sebanyak empat puluh delapan benda uji dengan variasi panjang 10; 20; 30; 40; 50; 60 cm. Pelaksanaan pengujian menggunakan alat *Universal Testing Machine (UTM) Merk Shimatzu Type UMH-30* yang dilakukan di Laboratorium Bahan Konstruksi Teknik, Fakultas Teknik Sipil dan Perencanaan, Universitas Islam Indonesia. Hasil pengujian didapat nilai beban maksimum, data hasil pengujian pada Lampiran 1 dan hasil perhitungan kuat desak benda uji seperti pada Tabel 5.5; 5.6; 5.7; 5.8. dan untuk grafik hubungan kuat desak dan regresinya ditunjukkan pada Gambar 5.1; 5.2; 5.3; 5.4; 5.5; 5.6; 5.7; 5.8.

Tabel 5. 5. Hasil uji kuat tekan profil baja C75×35×8×1,2

Panjang L(mm)			Kuat tekan (kN)			Fcr (Mpa)	Fcr/Fy
	ry	L/r	Sampel 1	sampel 2	Rata - rata		
100	13,28	7,53	65,25	64,00	64,63	334,50	0,87
200	13,28	15,06	62,25	61,75	62,00	320,91	0,83
300	13,28	22,59	61,00	59,25	60,13	311,21	0,80
400	13,28	30,12	60,50	57,50	59,00	305,38	0,79
500	13,28	37,65	59,25	56,75	58,00	300,21	0,78
600	13,28	45,18	58,25	55,00	56,63	293,09	0,76

Tabel 5. 6. Hasil uji kuat tekan profil baja C 100×40×8×1,7

Panjang L(mm)			Kuat tekan (kN)			Fcr (Mpa)	Fcr/Fy
	ry	L/ry	Sampel 1	Sampel 2	Rata - rata		
100	14,760	6,775	8700	8600	8650	259,604	0,765
200	14,760	13,550	8235	8250	8242,5	247,374	0,729
300	14,760	20,325	7950	7925	7937,5	238,220	0,702
400	14,760	27,100	7950	7500	7625	228,842	0,674
500	14,760	33,875	7575	7225	7400	222,089	0,654
600	14,760	40,650	7400	7100	7250	217,587	0,641

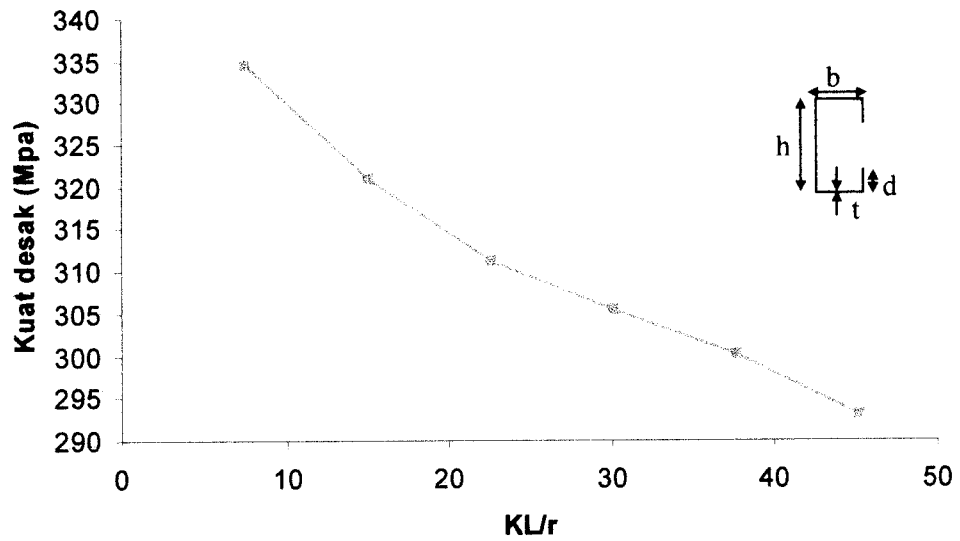
Tabel 5.7. Hasil uji kuat tekan profil baja C 125×40×10×2

panjang			Kuat tekan (kN)				
	L(mm)	ry	L/ry	sampel 1	sampel 2	Rata - rata	kuat desak (Mpa)
100	14,77	6,77	108	104,50	106,25	236,11	0,79
200	14,77	13,54	100,25	99,75	100,00	222,22	0,74
300	14,77	20,31	96,50	95,75	96,13	213,61	0,71
400	14,77	27,08	93,50	91,00	92,25	205,00	0,68
500	14,77	33,85	89,25	85,75	87,50	194,44	0,65
600	14,77	40,62	84,00	78,75	81,38	180,83	0,60

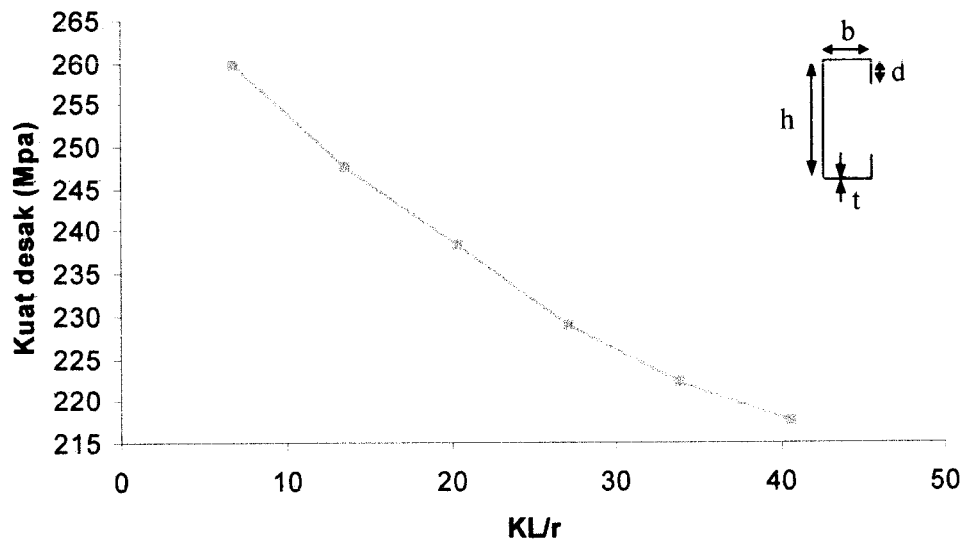
Tabel 5. 8 Hasil uji kuat tekan profil baja C 150×40×11×2,8

panjang			Kuat tekan (kN)				
	L(mm)	ry	L/ry	Sampel 1	Sampel 2	Rata - rata	Fcr (Mpa)
100	14,58	6,86	15625	16250	15937,5	225,87	0,91
200	14,58	13,72	14150	15925	15037,5	213,12	0,85
300	14,58	20,58	13185	14850	14017,5	198,66	0,80
400	14,58	27,43	12750	14150	13450	190,62	0,76
500	14,58	34,29	11150	14050	12600	178,57	0,72
600	14,58	41,15	10295	13025	11660	165,25	0,66

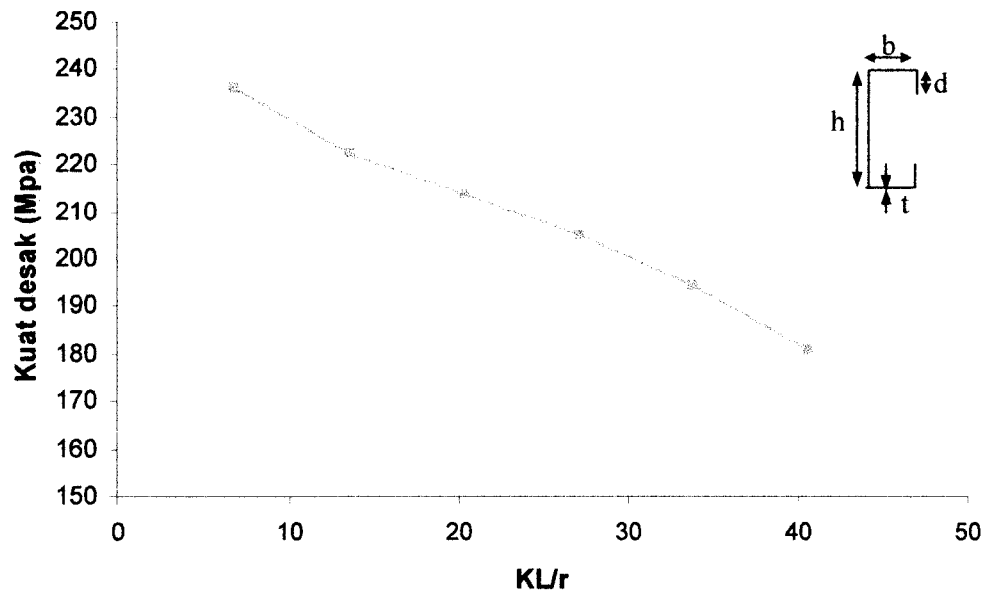
5.2.1 Grafik hubungan kuat desak batang tekan – angka kelangsingan batang



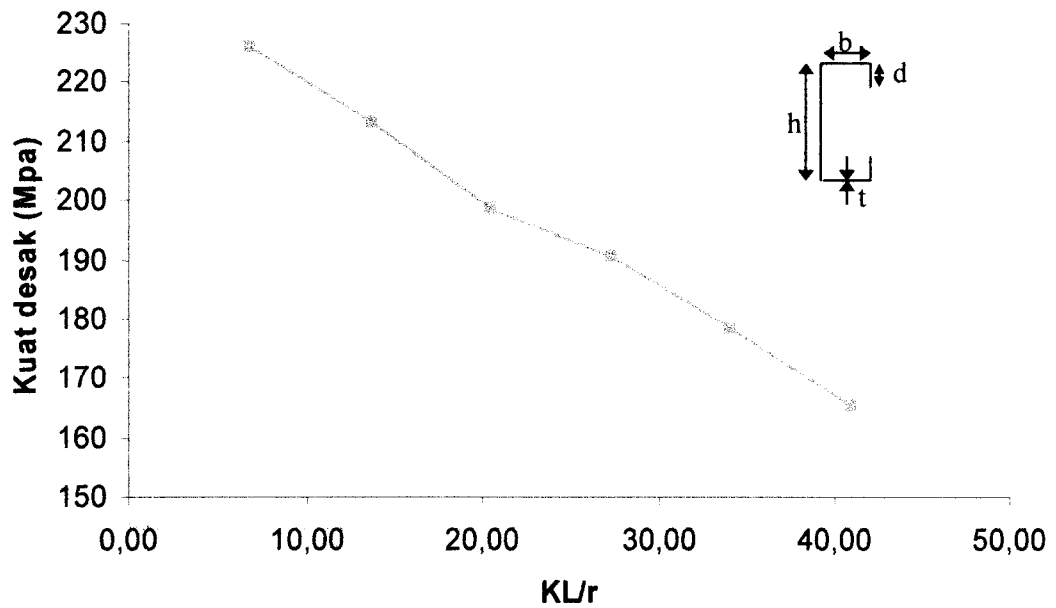
Gambar 5.1 Grafik hubungan Kuat desak - KL/r (75x35x8x1,2)



Gambar 5.2. Grafik hubungan kuat desak - KL/r (100x40x8x1,7)

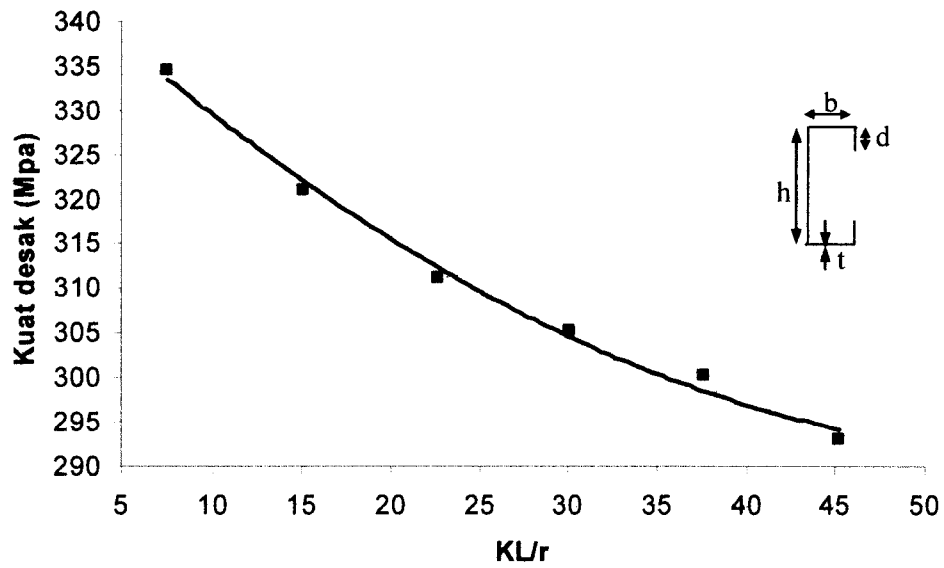


Gambar 5.3 Grafik hubungan kuat desak - KL/r(C125x40x10x2)

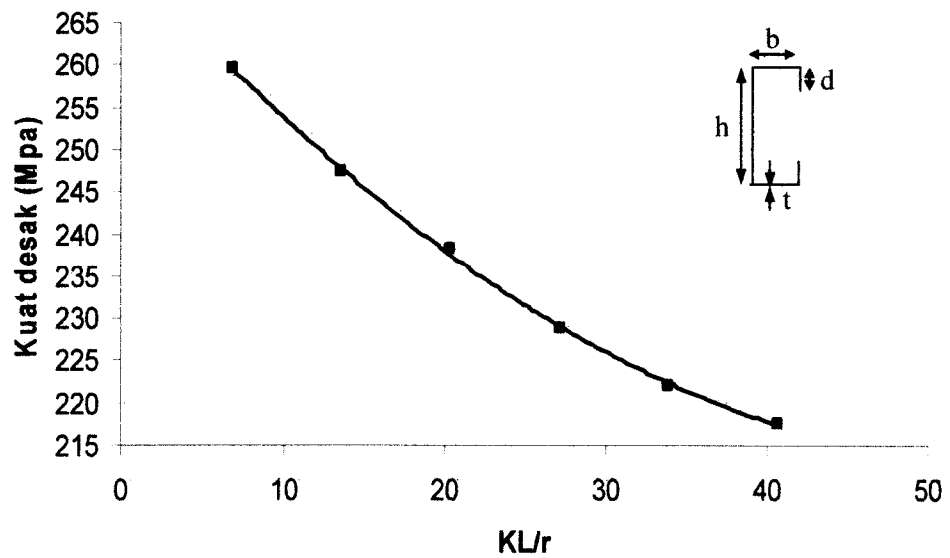


Gambar 5.4. Grafik hubungan kuat desak - KL/r (150x40x11x2,8)

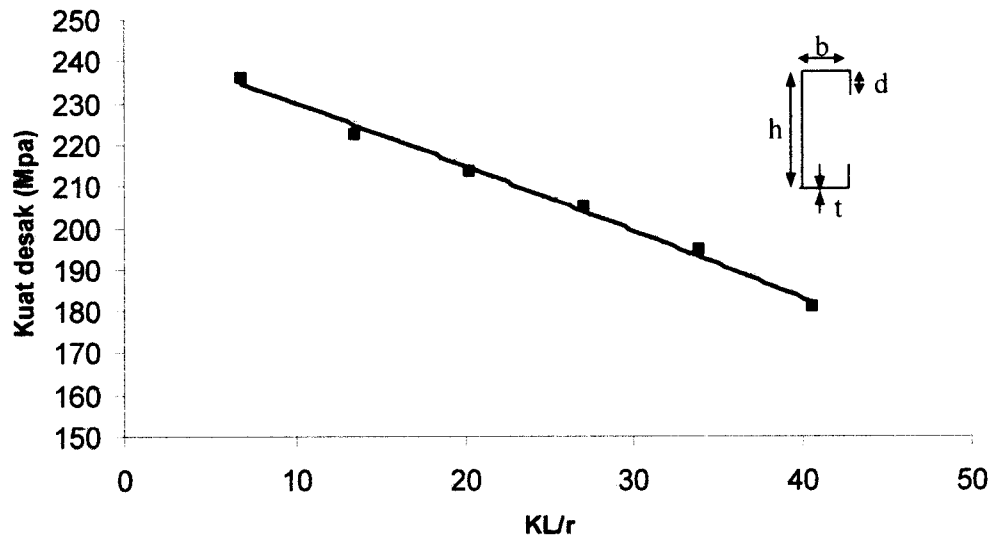
5.2.2. Regresi hubungan kuat desak batang tekan – angka kelangsingan batang



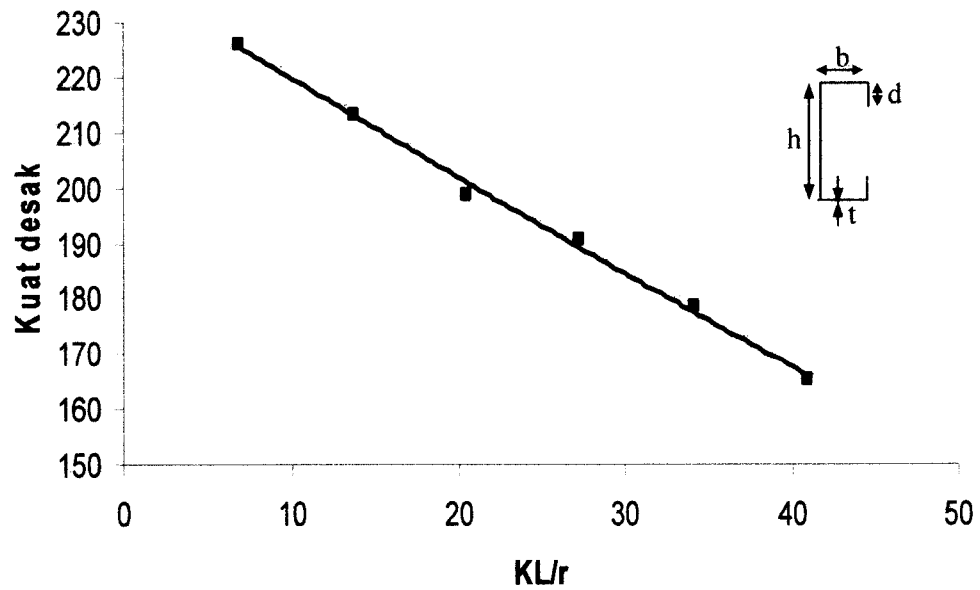
Gambar 5.5 Regresi hubungan Kuat desak - KL/r (C 75x35x8x1,2)



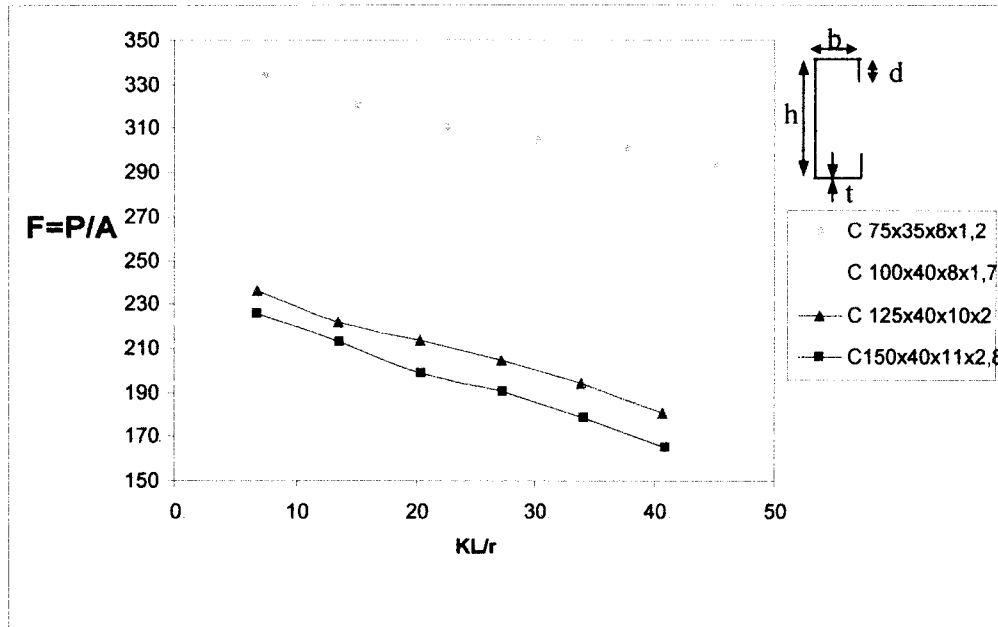
Gambar 5.6 Regresi hubungan kuat desak - KL/r (C 100x40x8x1,7)



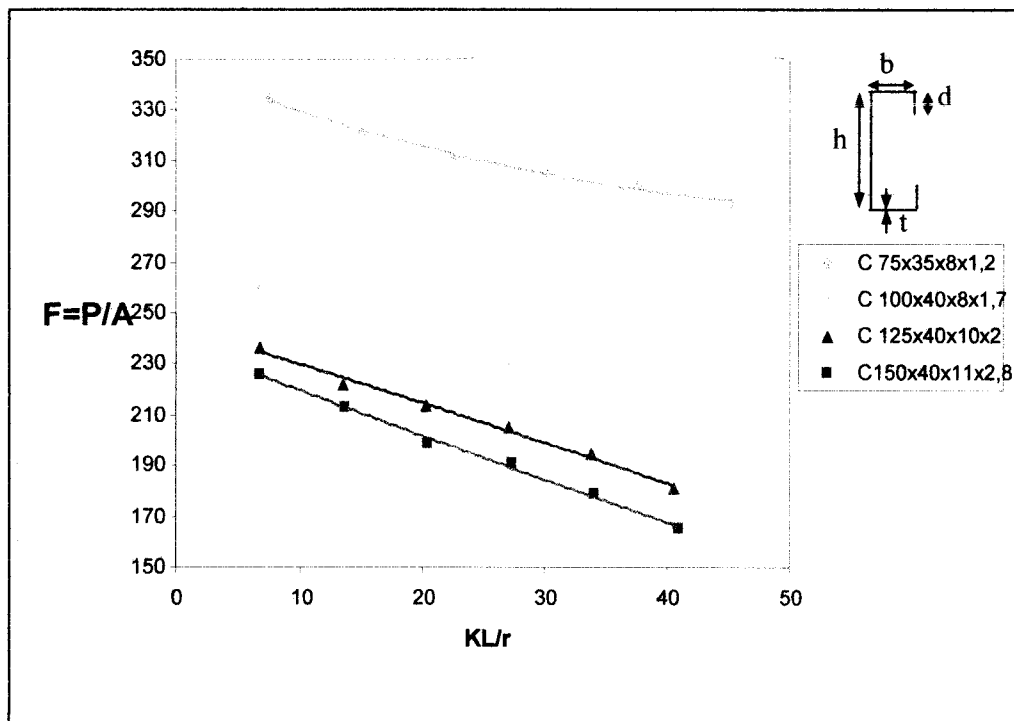
Gambar 5.7 Regresi hubungan kuat tekan - KL/r (125x40x10x2)



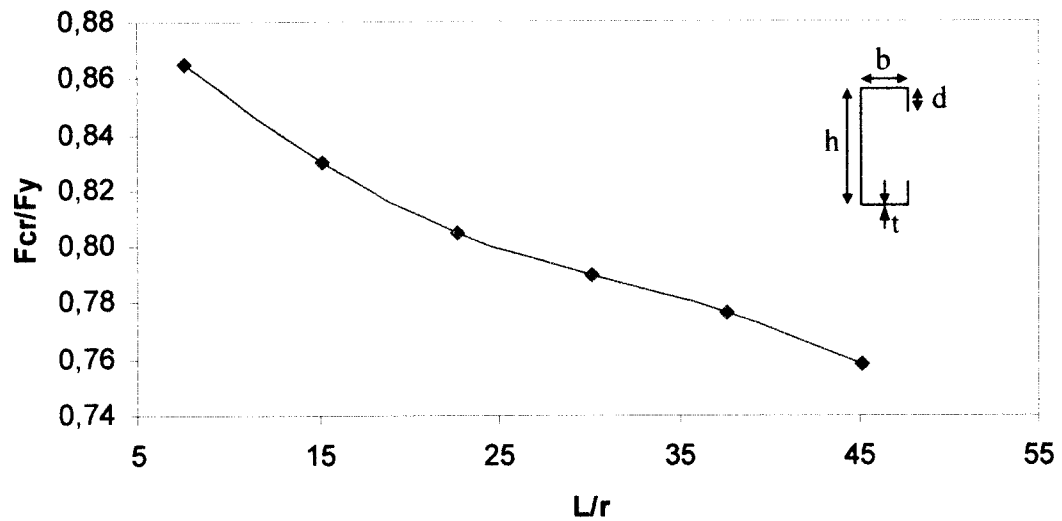
Gambar 5.8 Regresi hubungan kuat desak - KL/r(C 150x40x11x2,8)



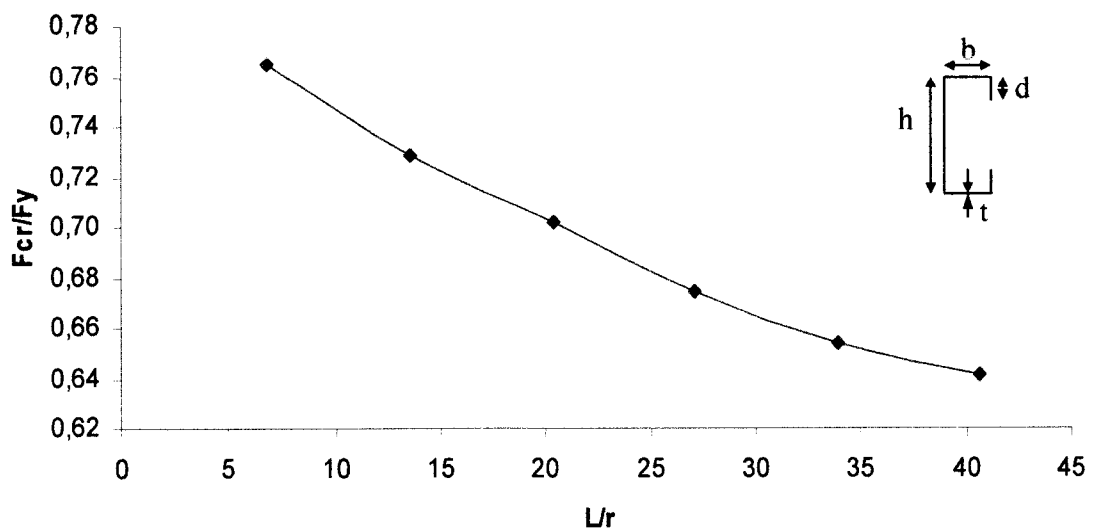
Gambar 5.9. Grafik hubungan kuat desak - KL/r



Gambar 5.10. Regresi hubungan kuat desak - KL/r

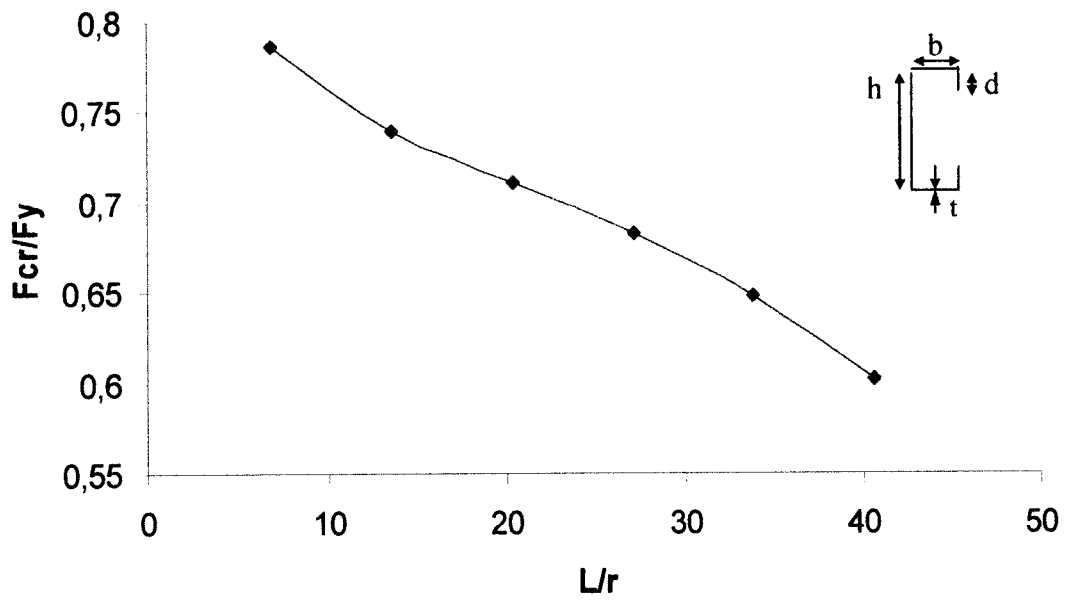


Gambar 5.11 Kurva hubungan rasio F_{cr}/F_y terhadap L/r profil C75x35x8x1,2

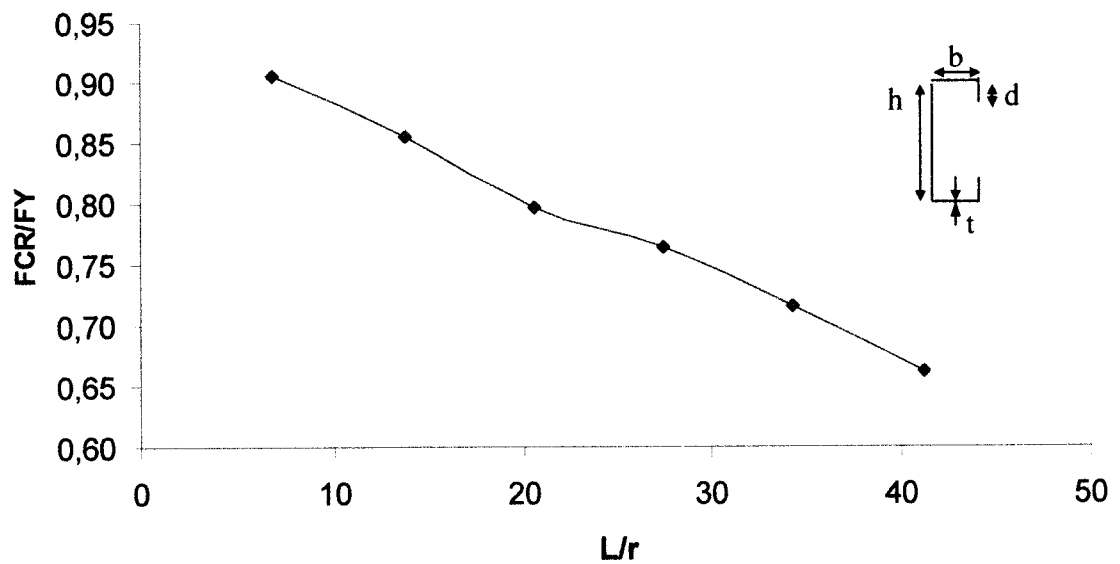


Gambar 5.12 Kurva hubungan rasio F_{cr}/F_y terhadap L/r Profil C100x40x8x1,7

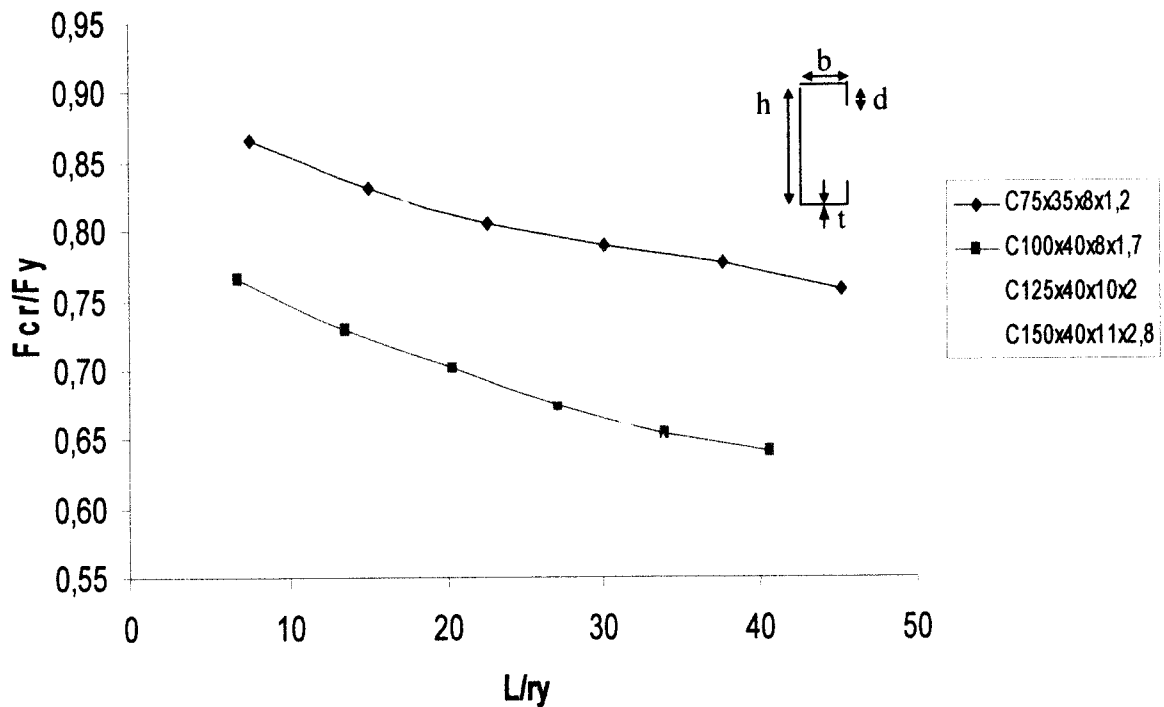




Gambar 5.13 Kurva hubungan Rasio F_{cr}/F_y terhadap L/r Profil C125x40x10x2



Gambar 5.14 Kurva hubungan rasio F_{cr}/F_y terhadap L/r Profil C150x40x11x2,8



Gambar 5.15 Kurva hubungan rasio F_{cr}/F_y terhadap L/r_y

5.3 Nilai koefisien tekuk

Berdasarkan uji desak empat puluh delapan benda uji profil *lipped channel* 70×35×8×1.2 ; 100×40×8×2 ; 125×40×10×2 ; 150×40×11×2 mm, didapat nilai F_{cr} . Nilai koefisien tekuk untuk batang tekan ini dapat dicari menggunakan Persamaan (3.9). Hasil perhitungan seperti pada Tabel 5.9;5.10;5.11;5.12 di bawah ini.

Tabel 5.9. Koefisien tekuk Lokal uji desak profil C75x35x8x1,2

Panjang kolom (mm)	Fcr (Mpa)	π	A (mm)	b/t	μ	Koefisien tekuk (k)
100	334,50	3,14	193,2	29,17	0,3	1,576
200	320,91	3,14	193,2	29,17	0,3	1,512
300	311,21	3,14	193,2	29,17	0,3	1,466
400	305,38	3,14	193,2	29,17	0,3	1,439
500	300,21	3,14	193,2	29,17	0,3	1,415
600	293,09	3,14	193,2	29,17	0,3	1,381

Tabel 5.10. Koefisien tekuk Lokal uji desak profil C100x40x8x1.7

Panjang kolom (mm)	Fcr (Mpa)	π	A	b/t	μ	Koefisien tekuk (k)
100	259,60	3,14	333,2	23,53	0,3	0,796
200	247,37	3,14	333,2	23,53	0,3	0,758
300	238,22	3,14	333,2	23,53	0,3	0,730
400	228,84	3,14	333,2	23,53	0,3	0,702
500	222,09	3,14	333,2	23,53	0,3	0,681
600	217,59	3,14	333,2	23,53	0,3	0,667

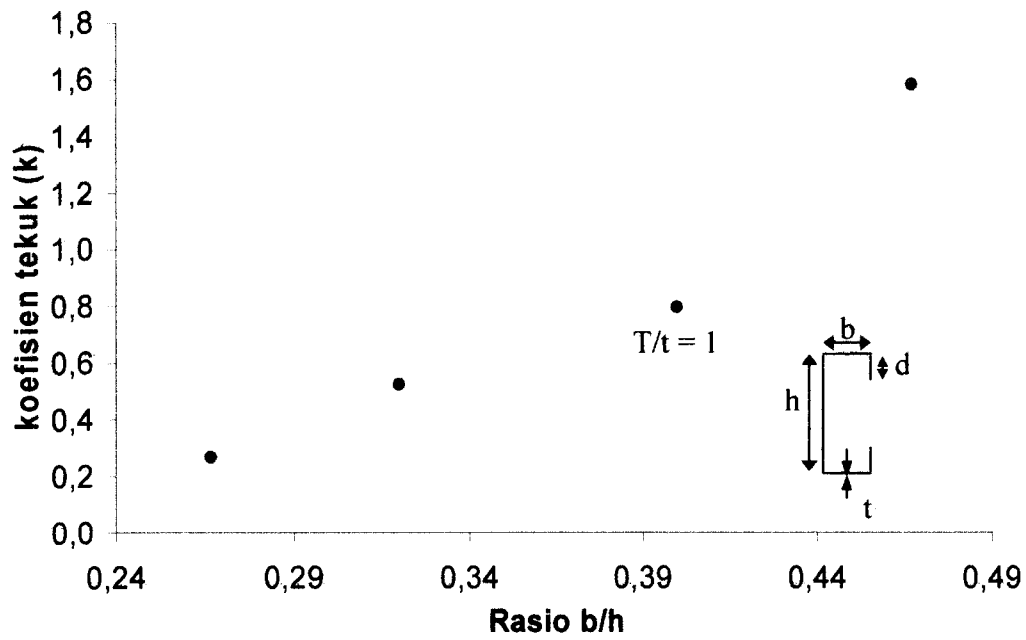
Tabel 5.11. Koefisien tekuk Lokal uji desak profil C125x40x10x2

Panjang kolom (mm)	Fcr (Mpa)	π	A (mm)	b/t	μ	Koefisien tekuk (k)
100	236,11	3,14	450	20	0,3	0,523
200	222,22	3,14	450	20	0,3	0,492
300	213,61	3,14	450	20	0,3	0,473
400	205,00	3,14	450	20	0,3	0,454
500	194,44	3,14	450	20	0,3	0,431
600	180,83	3,14	450	20	0,3	0,401

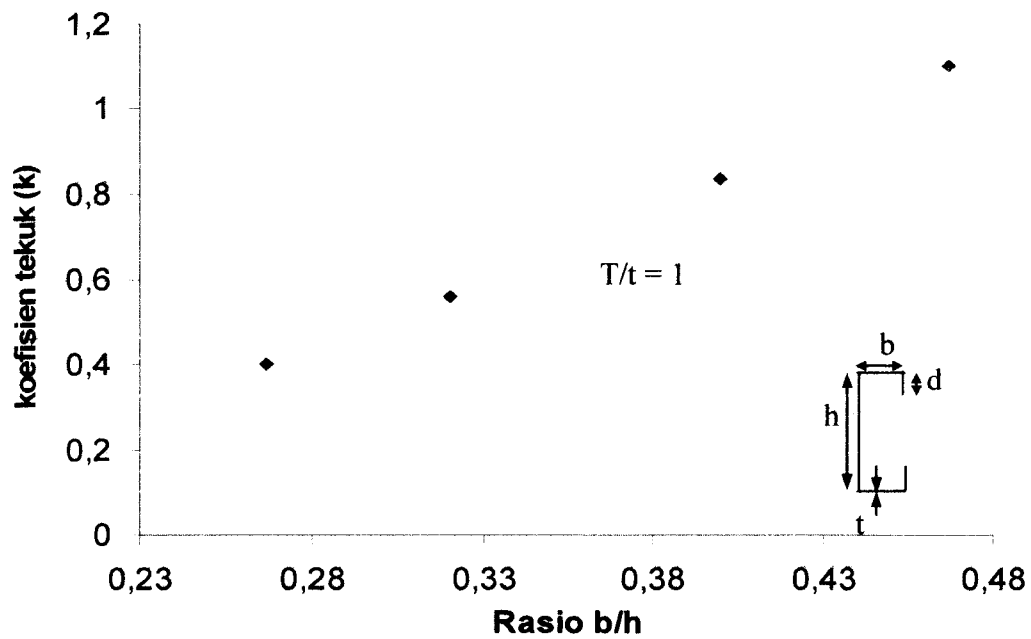
Tabel 5.12. Koefisien tekuk Lokal uji desak profil C150x40x11x2

Panjang kolumn (mm)	Fcr (Mpa)	π	A (mm)	b/t	μ	Koefisien tekuk (k)
100	230,44	3,14	691,6	14,29	0,3	0,261
200	217,43	3,14	691,6	14,29	0,3	0,246
300	202,68	3,14	691,6	14,29	0,3	0,229
400	194,48	3,14	691,6	14,29	0,3	0,220
500	182,19	3,14	691,6	14,29	0,3	0,206
600	168,59	3,14	691,6	14,29	0,3	0,191

Pada gambar 5.11 dan 5.12 menunjukkan grafik hubungan nilai koefisien tekuk plat (k) terhadap rasio (b/h). Pada gambar 5.11 merupakan nilai (k) hasil pengujian sedangkan pada gambar 5.12 merupakan nilai (k) hasil perhitungan metode schaffer.



Gambar 5.16 Kurva hubungan koefisien tekuk plat (k) – Rasio b/h hasil pengujian



Gambar 5.17 Kurva hubungan koefisien tekuk plat (k) – Rasio b/h hasil perhitungan "schafer"

5.4 Pembahasan

Dari hasil uji tekan profil lipped channel didapat beban maksimum (P). Apabila beban maksimum dibagi luasan penampang profil maka didapat nilai tegangan kritis (F_{cr}) seperti ditunjukkan pada tabel 5.5; 5.6; 5.7 dan 5.8. Nilai tegangan kritis dan koefisien tekuk (k) terbesar untuk masing – masing variasi rasio lebar sayap terhadap tinggi badan penampang hasil pengujian ditunjukkan pada tabel 5.13.

Tabel 5.13. Perbandingan tegangan kritis(F_{cr}) dari masing- masing penampang

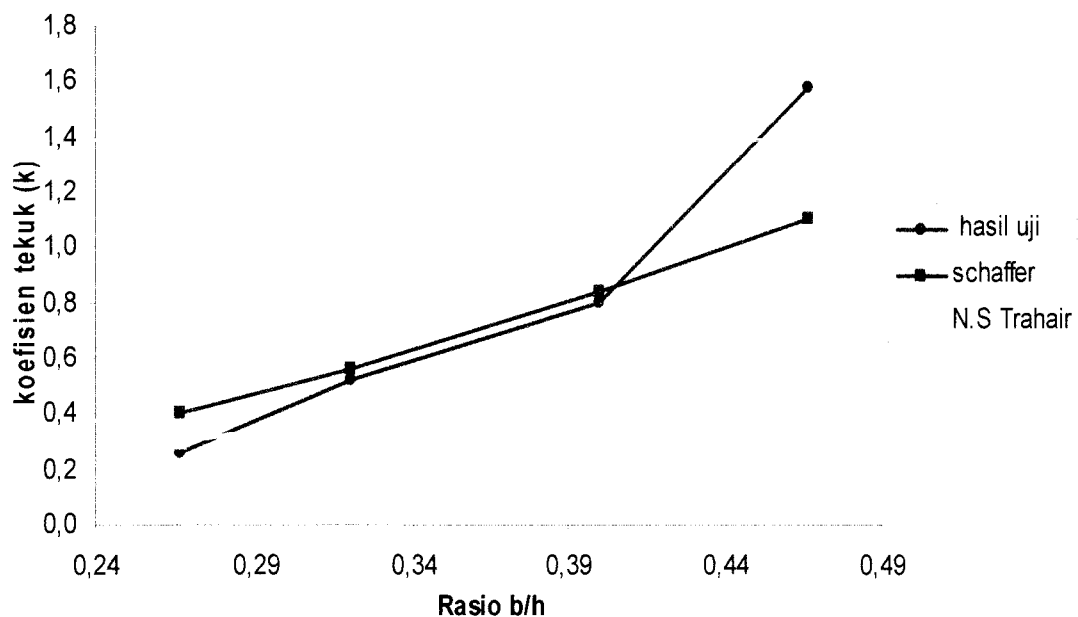
Penampang	Koefisien tekuk (k)	$F_{cr}(Mpa)$
75x35x8x1,2	1,576	334,50
100x40x8x1,7	0,796	259,60
125x40x10x2	0,532	236,11
150x40x11x2,8	0,261	230,44

Dari tabel 5.13 jelas terlihat bahwa nilai F_{cr} terbesar yaitu pada penampang C 75x35x8x1,2. Hal ini apabila dibandingkan dengan nilai tegangan kritis (F_{cr}) hasil perhitungan metode Salmon and johnson, Schafer, dan AISI sangat berbeda. Seperti ditunjukkan pada tabel 5.14.

Tabel 5.14. Nilai tegangan kritis(F_{cr}) dari masing- masing penampang

penampang	Fcr hasil pengujian (Mpa)	Fcr metode N.S Trahair (Mpa)	Fcr metode schaffer (Mpa)
75x35x8x1,2	334,50	127,46	233,68
100x40x8x1,7	259,60	163,24	274,25
125x40x10x2	236,11	176,24	256,07
150x40x11x2,8	230,44	265,56	354,08

Gambar 5.13 menunjukkan perbandingan nilai koefisien tekuk (k) dari hasil uji, metode schaffer, dan N.S Trahair.



Gambar 5.18 kurva hubungan nilai koefisien tekuk (k) – (b/h)

Tabel 5.15. Nilai koefisien tekuk dari masing- masing penampang

Penampang	k hasil pengujian	k metode schaffer	N.S Trahair
75x35x8x1,2	1,58	1,10	0,6
100x40x8x1,7	0,79	0,84	0,5
125x40x10x2	0,52	0,56	0,39
150x40x11x2,8	0,23	0,40	0,3

Pada tabel 5.15 menunjukkan perbandingan nilai koefisien tekuk lokal hasil uji dengan tekuk lokal hasil perhitungan metode potongan "*schafer*" dan nilai (k) menurut *N.S Trahair dan Bradford*. Dari tabel tersebut jelas terlihat bahwa nilai koefisien tekuk lokal hasil pengujian berbeda dengan koefisien tekuk lokal hasil perhitungan metode "*schafer*" maupun menurut *N.S Trahair and Bradford*. Perbedaan tersebut kemungkinan disebabkan karena alat dan tumpuan yang digunakan pada saat pengujian berbeda, dan mutu bahan juga berbeda. Selain itu perbedaan nilai koefisien tekuk lokal dari hasil teori schaffer dan teori N,S Trahair, yaitu teori *Schafer* yang menyatakan bahwa untuk mencari nilai koefisien tekuk lokal dengan menggunakan metode potongan yaitu koefisien tekuk sayap tepi dan koefisien tekuk sayap badan, sedangkan untuk koefisien tekuk teori *N,S Trahair* didapat dari nilai koefisien tekuk lokal keseluruhan penampang. Namun hal ini membuktikan bahwa untuk mencegah ataupun meminimalisir terjadinya tekuk yaitu dengan memperbesar rasio lebar terhadap tinggi profil (b/h).

BAB VI

KESIMPULAN DAN SARAN

Dari penjelasan serta uraian dalam pembahasan Tugas Akhir ini, kesimpulan dan saran yang dapat diajukan adalah sebagai berikut:

6.1 Kesimpulan

Kesimpulan yang dapat ditarik dari penelitian ini, kolom profil *Lipped Channel* bentukan dingin dengan variasi rasio lebar terhadap tinggi penampang adalah meliputi hal-hal sebagai berikut:

1. Dari hasil uji tekan kolom profil lipped channel didapat nilai F_{cr} untuk masing – masing penampang C 75×35×8×1,2; 100×40×8×1,7; 125×40×10×2; 150×40×11×2,8 sebesar 334,50 ; 259,60 ; 236,11 ; 230,44 Mpa. Dan nilai koefisien tekuk (k) profil *lipped channel* hasil uji tekan untuk masing – masing penampang C 75×35×8×1,2; 100×40×8×1,7; 125×40×10×2; 150×40×11×2,8 yaitu 1,5 ; 0,79 ; 0,52 ; 0,23.
2. Dari hasil uji tekan kolom profil lipped channel dengan variasi rasio lebar terhadap tinggi penampang (b/h) = 0,26; 0,32; 0,4; 0,46 terlihat bahwa semakin besar rasio (b/h) maka nilai tegangan kritis (F_{cr}) dan nilai koefisien tekuk (k) semakin besar.

6.2 Saran

Dari hasil penelitian dan pembahasan yang telah diuraikan beserta kesimpulan sebelumnya, maka disarankan:

1. Pada saat pembelian dan pemilihan bahan uji perlu diperhatikan bahan yang akan dibeli, pilih bahan yang baik agar layak di uji dan tidak cacat sebelum di uji.
2. Pada saat pemotongan bahan uji sebaiknya menggunakan alat potong manual menggunakan gergaji, hal ini untuk meminimal tegangan residu yang terjadi akibat pemotongan.
3. Pada saat pengujian perlu diperhatikan perletakan bahan uji.
4. Ketelitian dalam pengujian perlu diperhatikan, agar dapat meminimal kesalahan dalam pembacaan dial.
5. Perlu adanya uji sampel yang lebih panjang dari 600 mm.

DAFTAR PUSTAKA

Bleich, F., 1952, *Buckling Strength of Metal Structure*, McGraw-Hill, New York.

Lambert Tall, 1974, **STRUKTUR STEEL DESIGN**, 2nd Edition, The Ronald Press Company, New York.

Rhodes, J and A.C Walker, 1979, *Recent Technical Advances and Trends In Design, Reserch and Construction*, Granada London Oronto, Sydney, New york.

Salmon, C.G dan J.E. Johnson, 1990, **STRUKTUR BAJA DISAIN DAN PERILAKU**, Edisi kedua, Jilid I, Erlangga, Jakarta.

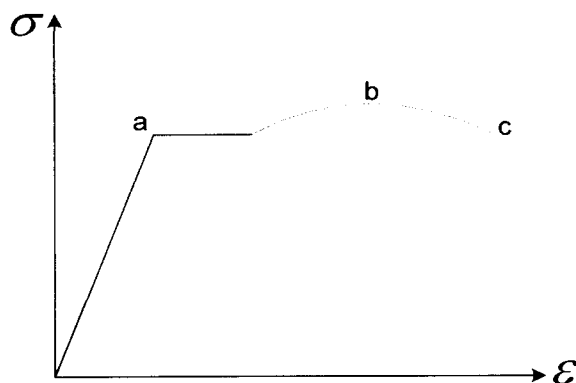
Schafer, B.W, 2000, **THIN-WALLED COLUMN DESIGN CONSIDERING LOCAL, DISTORTIONAL AND EULER BUCKLING**, *Journal Of Structural Engineering*, www.ce.jhu.edu/bschafer/dist_columns/paper.pdf/March, 289-290.

Trahair, N.S and M.A. Bradford, 1988, **THE BEHAVIOUR AND DESIGN OF STEEL STRUCTURES**, 2nd Edition, Chapman and Hall, New York.

LAMPIRAN 1

Hasil Uji Bahan

Pengujian ini merupakan uji terhadap kekuatan tarik bahan profil Lipped Channel 75×35×8×1,2; 100×40×8×1,8; 125×40×10×2; 150×40×11×2,8mm yang dilakukan di laboratorium Teknik Sipil UII Yogyakarta pada tanggal 18 Juli 2006. Adapun hasil uji pendahuluan adalah sebagai berikut :

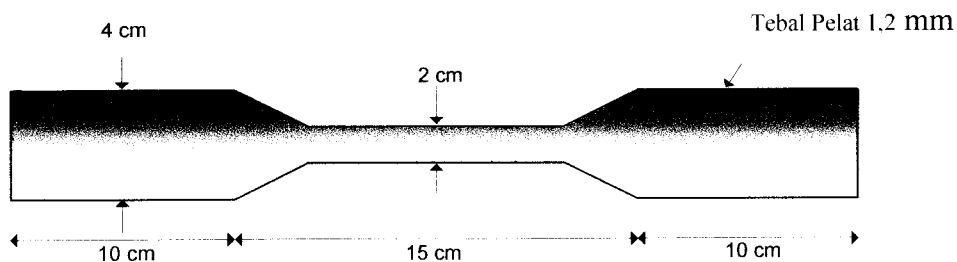


Gambar L1.1 Grafik hasil uji trik bahan

Beban Leleh (a)

Beban Maksimum (b)

Beban Patah (c)



1. Hasil pengujian kuat tarik profil Lipped Channel 75x35x8x1,2

a. Sampel I

Beban leleh = 920 kg

$$\text{Beban maksimum} = 1200 \text{ kg}$$

Perhitungan :

$$\text{Lebar} = 20 \text{ mm}$$

$$\text{Tebal} = 1,2 \text{ mm}$$

$$A_o = l \times t = 24 \text{ mm}^2$$

$$\begin{aligned} \text{Tegangan leleh (Fy)} &= \frac{Py}{A_o} \\ &= \frac{920 \times 9,81}{24} \\ &= 376,05 \text{ Mpa} \end{aligned}$$

$$\begin{aligned} \text{Tegangan maksimum (Fu)} &= \frac{Pu}{A_o} \\ &= \frac{1200 \times 9,81}{24} \\ &= 490,50 \text{ Mpa} \end{aligned}$$

b. Sampel II

$$\text{Beban leleh} = 985 \text{ kg}$$

$$\text{Beban maksimum} = 1360 \text{ kg}$$

Perhitungan :

$$\text{Lebar} = 20 \text{ mm}$$

$$\text{Tebal} = 1,2 \text{ mm}$$

$$A_o = l \times t = 24 \text{ cm}^2$$

$$\begin{aligned} \text{Tegangan leleh (Fy)} &= \frac{Py}{A_o} \\ &= \frac{985 \times 9,81}{24} \end{aligned}$$

$$= 402,62 \text{ Mpa}$$

$$\begin{aligned} \text{Tegangan maksimum (Fu)} &= \frac{Pu}{Ao} \\ &= \frac{1360 \times 9,81}{24} \\ &= 555,9 \text{ Mpa} \end{aligned}$$

c. Sampel III

$$\text{Beban leleh} = 930 \text{ kg}$$

$$\text{Beban maksimum} = 1295 \text{ kg}$$

Perhitungan :

$$\text{Lebar} = 2 \text{ mm}$$

$$\text{Tebal} = 1,2 \text{ mm}$$

$$Ao = l \times t = 24 \text{ mm}^2$$

$$\begin{aligned} \text{Tegangan leleh (Fy)} &= \frac{Py}{Ao} \\ &= \frac{930 \times 9,81}{24} \\ &= 380,14 \text{ Mpa} \end{aligned}$$

$$\begin{aligned} \text{Tegangan maksimum (Fu)} &= \frac{Pu}{Ao} \\ &= \frac{1295 \times 9,81}{24} \\ &= 529,33 \text{ Mpa} \end{aligned}$$

$$\begin{aligned} \text{Tegangan leleh rata-rata} &= \frac{379,05 + 402,62 + 380,14}{3} \\ &= 386,27 \text{ Mpa} \end{aligned}$$

$$\begin{aligned} \text{Tegangan maks rata-rata} &= \frac{1490,5 + 555,90 + 529,33}{3} \\ &= 525,24 \text{ Mpa} \end{aligned}$$

2. Hasil pengujian kuat tarik profil Lipped Channel 100x40x8x1,7

a. Sampel I

$$\text{Beban leleh} = 1320 \text{ kg}$$

$$\text{Beban maksimum} = 1850 \text{ kg}$$

Perhitungan :

$$\text{Lebar} = 20 \text{ mm}$$

$$\text{Tebal} = 1,7 \text{ mm}$$

$$A_o = l \times t = 34 \text{ mm}^2$$

$$\begin{aligned} \text{Tegangan leleh (Fy)} &= \frac{P_y}{A_o} \\ &= \frac{1320 \times 9,81}{34} \\ &= 380,86 \text{ Mpa} \end{aligned}$$

$$\begin{aligned} \text{Tegangan maksimum (Fu)} &= \frac{P_u}{A_o} \\ &= \frac{1850 \times 9,81}{34} \\ &= 533,78 \text{ Mpa} \end{aligned}$$

b. Sampel II

$$\text{Beban leleh} = 1330 \text{ kg}$$

$$\text{Beban maksimum} = 1880 \text{ kg}$$

Perhitungan :

$$\text{Lebar} = 20 \text{ mm}$$

$$\begin{aligned}
 \text{Tebal} &= 1,7 \text{ mm} \\
 A_o = l \times t &= 34 \text{ cm}^2 \\
 \text{Tegangan leleh (Fy)} &= \frac{P_y}{A_o} \\
 &= \frac{1330 \times 9,81}{34} \\
 &= 383,74 \text{ Mpa} \\
 \text{Tegangan maksimum (Fu)} &= \frac{P_u}{A_o} \\
 &= \frac{1880 \times 9,81}{34} \\
 &= 542,44 \text{ Mpa}
 \end{aligned}$$

c. Sampel III

$$\begin{aligned}
 \text{Beban leleh} &= 880 \text{ kg} \\
 \text{Beban maksimum} &= 1350 \text{ kg} \\
 \text{Perhitungan :} & \\
 \text{Lebar} &= 2 \text{ mm} \\
 \text{Tebal} &= 1,7 \text{ mm} \\
 A_o = l \times t &= 34 \text{ mm}^2 \\
 \text{Tegangan leleh (Fy)} &= \frac{P_y}{A_o} \\
 &= \frac{880 \times 9,81}{34} \\
 &= 253,91 \text{ Mpa} \\
 \text{Tegangan maksimum (Fu)} &= \frac{P_u}{A_o}
 \end{aligned}$$

$$= \frac{1350 \times 9,81}{34}$$

$$= 389,51 \text{ Mpa}$$

$$\text{Tegangan leleh rata-rata} = \frac{380,86 + 383,47 + 253,91}{3}$$

$$= 339,5 \text{ Mpa}$$

$$\text{Tegangan maks rata-rata} = \frac{533,78 + 542,44 + 389,51}{3}$$

$$= 488,58 \text{ Mpa}$$

3. Hasil pengujian kuat tarik profil Lipped Channel 125x40x10x2

a. Sampel I

$$\text{Beban leleh} = 1275 \text{ kg}$$

$$\text{Beban maksimum} = 1675 \text{ kg}$$

Perhitungan :

$$\text{Lebar} = 20 \text{ mm}$$

$$\text{Tebal} = 2 \text{ mm}$$

$$A_o = l \times t = 40 \text{ mm}^2$$

$$\text{Tegangan leleh (Fy)} = \frac{Py}{A_o}$$

$$= \frac{1275 \times 9,81}{40}$$

$$= 312,69 \text{ Mpa}$$

$$\text{Tegangan maksimum (Fu)} = \frac{Pu}{A_o}$$

$$= \frac{1675 \times 9,81}{40}$$

$$= 410,79 \text{ Mpa}$$

b. Sampel II

$$\text{Beban leleh} = 1330 \text{ kg}$$

$$\text{Beban maksimum} = 1670 \text{ kg}$$

Perhitungan :

$$\text{Lebar} = 20 \text{ mm}$$

$$\text{Tebal} = 2 \text{ mm}$$

$$A_o = l \times t = 40 \text{ cm}^2$$

$$\begin{aligned} \text{Tegangan leleh (Fy)} &= \frac{Py}{A_o} \\ &= \frac{1330 \times 9,81}{40} \\ &= 326,18 \text{ Mpa} \end{aligned}$$

$$\begin{aligned} \text{Tegangan maksimum (Fu)} &= \frac{Pu}{A_o} \\ &= \frac{1670 \times 9,81}{40} \\ &= 409,57 \text{ Mpa} \end{aligned}$$

a. Sampel III

$$\text{Beban leleh} = 1070 \text{ kg}$$

$$\text{Beban maksimum} = 1485 \text{ kg}$$

Perhitungan :

$$\text{Lebar} = 2 \text{ mm}$$

$$\text{Tebal} = 2 \text{ mm}$$

$$A_o = l \times t = 40 \text{ mm}^2$$

$$\begin{aligned} \text{Tegangan leleh (Fy)} &= \frac{Py}{Ao} \\ &= \frac{1070 \times 9,81}{40} \\ &= 262,42 \text{ Mpa} \end{aligned}$$

$$\begin{aligned} \text{Tegangan maksimum (Fu)} &= \frac{Pu}{Ao} \\ &= \frac{1485 \times 9,81}{40} \\ &= 364,42 \text{ Mpa} \end{aligned}$$

$$\begin{aligned} \text{Tegangan leleh rata-rata} &= \frac{312,69 + 326,18 + 262,42}{3} \\ &= 300,43 \text{ Mpa} \end{aligned}$$

$$\begin{aligned} \text{Tegangan maks rata-rata} &= \frac{410,79 + 409,57 + 364,20}{3} \\ &= 394,85 \text{ Mpa} \end{aligned}$$

4. Hasil pengujian kuat tarik profil Lipped Channel 150x40x11x2,8

a. Sampel I

$$\text{Beban leleh} = 1425 \text{ kg}$$

$$\text{Beban maksimum} = 1675 \text{ kg}$$

Perhitungan :

$$\text{Lebar} = 20 \text{ mm}$$

$$\text{Tebal} = 2,8 \text{ mm}$$

$$Ao = l \times t = 56 \text{ mm}^2$$

$$\text{Tegangan leleh (Fy)} = \frac{Py}{Ao}$$

$$= \frac{1275 \times 9,81}{56}$$

$$= 232,99 \text{ Mpa}$$

$$\text{Tegangan maksimum (Fu)} = \frac{Pu}{Ao}$$

$$= \frac{1675 \times 9,81}{56}$$

$$= 273,86 \text{ Mpa}$$

b. Sampel II

$$\text{Beban leleh} = 1410 \text{ kg}$$

$$\text{Beban maksimum} = 1670 \text{ kg}$$

Perhitungan :

$$\text{Lebar} = 20 \text{ mm}$$

$$\text{Tebal} = 2,7 \text{ mm}$$

$$Ao = l \times t = 56 \text{ cm}^2$$

$$\text{Tegangan leleh (Fy)} = \frac{Py}{Ao}$$

$$= \frac{1330 \times 9,81}{56}$$

$$= 230,54 \text{ Mpa}$$

$$\text{Tegangan maksimum (Fu)} = \frac{Pu}{Ao}$$

$$= \frac{1670 \times 9,81}{56}$$

$$= 273,05 \text{ Mpa}$$

c. Sampel III

$$\text{Beban leleh} = 1435 \text{ kg}$$

$$\text{Beban maksimum} = 1685 \text{ kg}$$

Perhitungan :

$$\text{Lebar} = 2 \text{ mm}$$

$$\text{Tebal} = 2,8 \text{ mm}$$

$$A_o = l \times t = 56 \text{ mm}^2$$

$$\begin{aligned} \text{Tegangan leleh (Fy)} &= \frac{Py}{A_o} \\ &= \frac{1435 \times 9,81}{56} \\ &= 234,62 \text{ Mpa} \end{aligned}$$

$$\begin{aligned} \text{Tegangan maksimum (Fu)} &= \frac{Pu}{A_o} \\ &= \frac{1685 \times 9,81}{56} \\ &= 275,5 \text{ Mpa} \end{aligned}$$

$$\begin{aligned} \text{Tegangan leleh rata-rata} &= \frac{232,99 + 230,54 + 234,62}{3} \\ &= 231,72 \text{ Mpa} \end{aligned}$$

$$\begin{aligned} \text{Tegangan maks rata-rata} &= \frac{273,86 + 273,05 + 275,5}{3} \\ &= 274,14 \text{ Mpa} \end{aligned}$$

5. Hasil pengujian kuat tekan profil Lipped Channel 75x35x8x1,2

- **L** = 10 cm

a. Sampel I

$$\text{Beban maksimum} = 6525 \text{ kg}$$

$$\begin{aligned} \text{Kuat Desak (sampel 1)} &= \frac{\text{beban maksimum}}{\text{luas tampang}} \\ &= \frac{6525 \text{ kg}}{193,2 \cdot 10^{-2} \text{ cm}^2} \\ &= 3377,329 \text{ kg/cm}^2 \\ &= 337,733 \text{ Mpa} \end{aligned}$$

b. Sampel II

$$\text{Beban maksimum} = 6400 \text{ kg}$$

$$\begin{aligned} \text{Kuat Desak (sampel 2)} &= \frac{\text{beban maksimum}}{\text{luas tampang}} \\ &= \frac{6400 \text{ kg}}{193,2 \cdot 10^{-2} \text{ cm}^2} \\ &= 3312,629 \text{ kg/cm}^2 \\ &= 331,263 \text{ Mpa} \end{aligned}$$

$$\text{Kuat Desak Rata-rata} = \frac{337,733 + 331,263}{2} = 334,498 \text{ Mpa}$$

- **L** = 20 cm

a. Sampel I

$$\text{Beban maksimum} = 6225 \text{ kg}$$

$$\begin{aligned} \text{Kuat Desak (sampel 1)} &= \frac{\text{beban maksimum}}{\text{luas tampang}} \\ &= \frac{6225 \text{ kg}}{193,2 \cdot 10^{-2} \text{ cm}^2} \end{aligned}$$

$$= 3225,389 \text{ kg/cm}^2$$

$$= 322,539 \text{ Mpa}$$

b. Sampel II

$$\text{Beban maksimum} = 6175 \text{ kg}$$

$$\text{Kuat Desak (sampel 2)} = \frac{\text{beban maksimum}}{\text{luas tampang}}$$

$$= \frac{6175 \text{ kg}}{193,2 \cdot 10^{-2} \text{ cm}^2}$$

$$= 3199,482 \text{ kg/cm}^2$$

$$= 319,949 \text{ Mpa}$$

$$\text{Kuat Desak Rata-rata} = \frac{322,539 + 319,949}{2} = 320,91 \text{ Mpa}$$

- L = 30 cm

a. Sampel I

$$\text{Beban maksimum} = 6100 \text{ kg}$$

$$\text{Kuat Desak (sampel 1)} = \frac{\text{beban maksimum}}{\text{luas tampang}}$$

$$= \frac{6100 \text{ kg}}{193,2 \cdot 10^{-2} \text{ cm}^2}$$

$$= 3157,349 \text{ kg/cm}^2$$

$$= 315,735 \text{ Mpa}$$

b. Sampel II

$$\text{Beban maksimum} = 5925 \text{ kg}$$

$$\text{Kuat Desak (sampel 2)} = \frac{\text{beban maksimum}}{\text{luas tampang}}$$

$$\begin{aligned}
 &= \frac{5925 \text{ kg}}{193.2 \cdot 10^{-2} \text{ cm}^2} \\
 &= 3099,770 \text{ kg/cm}^2 \\
 &= 309,977 \text{ Mpa}
 \end{aligned}$$

$$\text{Kuat Desak Rata-rata} = \frac{315,735 + 309,977}{2} = 311,21 \text{ Mpa}$$

- L = 40 cm

a. Sampel I

$$\text{Beban maksimum} = 6050 \text{ kg}$$

$$\begin{aligned}
 \text{Kuat Desak (sampel 1)} &= \frac{\text{beban maksimum}}{\text{luas tampang}} \\
 &= \frac{6050 \text{ kg}}{193,2 \cdot 10^{-2} \text{ cm}^2} \\
 &= 3131,469 \text{ kg/cm}^2 \\
 &= 313,147 \text{ Mpa}
 \end{aligned}$$

b. Sampel II

$$\text{Beban maksimum} = 5750 \text{ kg}$$

$$\begin{aligned}
 \text{Kuat Desak (sampel 2)} &= \frac{\text{beban maksimum}}{\text{luas tampang}} \\
 &= \frac{5750 \text{ kg}}{193.2 \cdot 10^{-2} \text{ cm}^2} \\
 &= 2976,190 \text{ kg/cm}^2 \\
 &= 297,762 \text{ Mpa}
 \end{aligned}$$

$$\text{Kuat Desak Rata-rata} = \frac{313,147 + 297,762}{2} = 305,38 \text{ Mpa}$$

- L = 50 cm

a. Sampel I

$$\text{Beban maksimum} = 5925 \text{ kg}$$

$$\text{Kuat Desak (sampel 1)} = \frac{\text{beban maksimum}}{\text{luas tampang}}$$

$$= \frac{5925 \text{ kg}}{193,2 \cdot 10^{-2} \text{ cm}^2}$$

$$= 3066,770 \text{ kg/cm}^2$$

$$= 306,677 \text{ Mpa}$$

b. Sampel II

$$\text{Beban maksimum} = 5675 \text{ kg}$$

$$\text{Kuat Desak (sampel 2)} = \frac{\text{beban maksimum}}{\text{luas tampang}}$$

$$= \frac{5675 \text{ kg}}{193,2 \cdot 10^{-2} \text{ cm}^2}$$

$$= 2937,371 \text{ kg/cm}^2$$

$$= 293,737 \text{ Mpa}$$

$$\text{Kuat Desak Rata-rata} = \frac{306,677 + 293,737}{2} = 300,21 \text{ Mpa}$$

- L = 60 cm

a. Sampel I

$$\text{Beban maksimum} = 5825 \text{ kg}$$

$$\text{Kuat Desak (sampel 1)} = \frac{\text{beban maksimum}}{\text{luas tampang}}$$

LAMPIRAN 2



$$F_{cr_lip} = k_{lip} \cdot \frac{\pi^2 \cdot E}{12 \cdot (1 - \mu^2)} \cdot \left(\frac{t}{d}\right)^2, \text{ dengan nilai } k \text{ pada lip} = 0,425$$

$$F_{cr_lip} = 0,425 \cdot \frac{\pi^2 \cdot 2 \cdot 10^5}{12 \cdot (1 - 0,3^2)} \cdot \left(\frac{1,2}{8}\right)^2$$

$$= 1728,536 \text{ Mpa}$$

Pada sayap $\left(\frac{b}{t}\right) = \left(\frac{35}{1,2}\right) = 29,167 \text{ mm}$

$$F_{cr_sayap} = k_{sayap} \cdot \frac{\pi^2 \cdot E}{12 \cdot (1 - \mu^2)} \cdot \left(\frac{t}{b}\right)^2, \text{ dengan nilai } k \text{ pada sayap} = 4$$

$$F_{cr_sayap} = 4 \cdot \frac{\pi^2 \cdot 2 \cdot 10^5}{12 \cdot (1 - 0,3^2)} \cdot \left(\frac{1,2}{35}\right)^2$$

$$= 849,95 \text{ Mpa}$$

Pada badan $\left(\frac{h}{t}\right) = \left(\frac{75}{1,2}\right) = 62,5 \text{ mm}$

$$F_{cr_badan} = k_{badan} \cdot \frac{\pi^2 \cdot E}{12 \cdot (1 - \mu^2)} \cdot \left(\frac{t}{h}\right)^2, \text{ dengan nilai } k \text{ pada badan} = 4$$

$$F_{cr_badan} = 4 \cdot \frac{\pi^2 \cdot 2 \cdot 10^5}{12 \cdot (1 - 0,3^2)} \cdot \left(\frac{1,2}{75}\right)^2$$

$$= 185,1 \text{ Mpa}$$

$$F_{cr} = F_{cr \text{ badan}} = 185,1 \text{ Mpa}$$

$$P_{cr} = F_{cr} \cdot A$$

$$= 185,1 \cdot 10^{-3} \cdot 192,24 = 35,58 \text{ kN}$$

- **Profil Lipped Channel 100×40× 8× 1,7**

Pada lip $\left(\frac{d}{t}\right) = \left(\frac{8}{1,7}\right) = 4,71$

$$F_{cr_lip} = k_{lip} \cdot \frac{\pi^2 \cdot E}{12 \cdot (1 - \mu^2)} \cdot \left(\frac{t}{d}\right)^2, \text{ dengan nilai } k \text{ pada lip} = 0,425$$

$$F_{cr_lip} = 0,425 \cdot \frac{\pi^2 \cdot 2 \cdot 10^5}{12 \cdot (1 - 0,3^2)} \cdot \left(\frac{1,7}{8}\right)^2$$

$$= 3469,077 \text{ Mpa}$$

Pada sayap $\left(\frac{b}{t}\right) = \left(\frac{40}{1,7}\right) = 23,53 \text{ mm}$

$$F_{cr_sayap} = k_{sayap} \cdot \frac{\pi^2 \cdot E}{12 \cdot (1 - \mu^2)} \cdot \left(\frac{t}{b}\right)^2, \text{ dengan nilai } k \text{ pada sayap} = 4$$

$$F_{cr_sayap} = 4 \cdot \frac{\pi^2 \cdot 2 \cdot 10^5}{12 \cdot (1 - 0,3^2)} \cdot \left(\frac{1,7}{40}\right)^2$$

$$= 1306,01 \text{ Mpa}$$

Pada badan $\left(\frac{h}{t}\right) = \left(\frac{100}{2}\right) = 58,824 \text{ mm}$

$$F_{cr_badan} = k_{badan} \cdot \frac{\pi^2 \cdot E}{12 \cdot (1 - \mu^2)} \cdot \left(\frac{t}{h}\right)^2, \text{ dengan nilai } k \text{ pada badan} = 4$$

$$F_{cr_badan} = 4 \cdot \frac{\pi^2 \cdot 2 \cdot 10^5}{12 \cdot (1 - 0,3^2)} \cdot \left(\frac{1,7}{100}\right)^2$$

$$= 208,961 \text{ Mpa}$$

$$F_{cr} = F_{cr \text{ badan}} = 208,961 \text{ Mpa}$$

$$P_{cr} = F_{cr} \cdot A$$

$$= 289,22 \times 10^{-3} \cdot 333,2 = 69,625 \text{ kN}$$

- **Profil Lipped Channel 125×40×10× 2**

Pada lip $\left(\frac{d}{t}\right) = \left(\frac{10}{2}\right) = 5$

$$F_{cr_lip} = k_{lip} \cdot \frac{\pi^2 \cdot E}{12 \cdot (1 - \mu^2)} \cdot \left(\frac{t}{d}\right)^2, \text{ dengan nilai } k \text{ pada lip} = 0,425$$

$$F_{cr_lip} = 0,425 \cdot \frac{\pi^2 \cdot 2 \cdot 10^5}{12 \cdot (1 - 0,3^2)} \cdot \left(\frac{2}{10}\right)^2$$

$$= 3072,95 \text{ Mpa}$$

Pada sayap $\left(\frac{b}{t}\right) = \left(\frac{40}{2}\right) = 20 \text{ mm}$

$$F_{cr_sayap} = k_{sayap} \cdot \frac{\pi^2 \cdot E}{12 \cdot (1 - \mu^2)} \cdot \left(\frac{t}{b}\right)^2, \text{ dengan nilai } k \text{ pada sayap} = 4$$

$$F_{cr_sayap} = 4 \cdot \frac{\pi^2 \cdot 2 \cdot 10^5}{12 \cdot (1 - 0,3^2)} \cdot \left(\frac{2}{40}\right)^2$$

$$= 1807,619 \text{ Mpa}$$

Pada badan $\left(\frac{h}{t}\right) = \left(\frac{125}{2}\right) = 62,5 \text{ mm}$

$$F_{cr_badan} = k_{badan} \cdot \frac{\pi^2 \cdot E}{12 \cdot (1 - \mu^2)} \cdot \left(\frac{t}{h}\right)^2, \text{ dengan nilai } k \text{ pada badan} = 4$$

$$F_{cr_badan} = 4 \cdot \frac{\pi^2 \cdot 2 \cdot 10^5}{12 \cdot (1 - 0,3^2)} \cdot \left(\frac{2}{125}\right)^2$$

$$= 184,91 \text{ Mpa}$$

$$F_{cr} = F_{cr_badan} = 184,91 \text{ Mpa}$$

$$P_{cr} = F_{cr} \cdot A$$

$$= 184,91 \times 10^{-3} \cdot 450 = 83,21 \text{ kN}$$

- **Profil Lipped Channel 150×40×11×2,8**

Pada lip $\left(\frac{d}{t}\right) = \left(\frac{11}{2,8}\right) = 3,92$

$$F_{cr_lip} = k_{lip} \cdot \frac{\pi^2 \cdot E}{12 \cdot (1 - \mu^2)} \cdot \left(\frac{t}{d}\right)^2, \text{ dengan nilai } k \text{ pada lip} = 0,425$$

$$F_{cr_lip} = 0,425 \cdot \frac{\pi^2 \cdot 2 \cdot 10^5}{12 \cdot (1 - 0,3^2)} \cdot \left(\frac{2,8}{11}\right)^2$$

$$= 4977,677 \text{ Mpa}$$

Pada sayap $\left(\frac{b}{t}\right) = \left(\frac{40}{2,8}\right) = 14,29 \text{ mm}$

$$F_{cr_sayap} = k_{sayap} \cdot \frac{\pi^2 \cdot E}{12 \cdot (1 - \mu^2)} \cdot \left(\frac{t}{b}\right)^2, \text{ dengan nilai } k \text{ pada sayap} = 4$$

$$F_{cr_sayap} = 4 \cdot \frac{\pi^2 \cdot 2 \cdot 10^5}{12 \cdot (1 - 0,3^2)} \cdot \left(\frac{2,8}{40}\right)^2$$

$$= 3542,935 \text{ Mpa}$$

Pada badan $\left(\frac{h}{t}\right) = \left(\frac{150}{2,8}\right) = 53,57 \text{ mm}$

$$F_{cr_badan} = k_{badan} \cdot \frac{\pi^2 \cdot E}{12 \cdot (1 - \mu^2)} \cdot \left(\frac{t}{h}\right)^2, \text{ dengan nilai } k \text{ pada badan} = 4$$

$$F_{cr_badan} = 4 \cdot \frac{\pi^2 \cdot 2 \cdot 10^5}{12 \cdot (1 - 0,3^2)} \cdot \left(\frac{2,8}{150}\right)^2$$

$$= 251,94 \text{ Mpa}$$

$$F_{cr} = F_{cr_badan} = 251,94 \text{ Mpa}$$

$$P_{cr} = F_{cr} \cdot A$$

$$= 128,542 \times 10^{-3} \cdot 691,6 = 174,24 \text{ kN}$$

Tabel.L 2.2. Tabel nilai F_{cr} Profil lipped Channel

Penampang	F_{cr} sayap	F_{cr} badan	F_{cr} bibir
75x35x8x1,2	849,09	184,91	16252,09
100x40x8x2	1304,68	208,75	32617,04
125x40x10x2	1805,79	184,91	28892,60
150x40x11x2	3539,34	251,94	46801,24

2. Perhitungan F_{cr} Menurut Schafer (1997)

- Profil Lipped Channel 75×35× 8× 1.2

Pada sayap tepi/lip $\left(\frac{d}{t}\right) = \left(\frac{8}{1,2}\right) = 6,67$

$$F_{cr_lip} = k_{lip} \cdot \frac{\pi^2 \cdot E}{12 \cdot (1 - \mu^2)} \cdot \left(\frac{t}{d}\right)^2, \text{ dengan nilai } k, \text{ yaitu}$$

$$k_{lip} = -11,07 \left(\frac{d}{b}\right)^2 + 3,95 \left(\frac{d}{b}\right) + 4$$

$$= -11,07 \left(\frac{8}{35}\right)^2 + 3,95 \left(\frac{8}{35}\right) + 4$$

$$= 4,325$$

Sehingga

$$F_{cr_lip} = 4,325 \cdot \frac{\pi^2 \cdot 2 \cdot 10^5}{12 \cdot (1 - 0,3^2)} \cdot \left(\frac{1,2}{8}\right)^2$$

$$= 16252,09 \text{ Mpa}$$

Pada sayap dan badan

$$F_{cr_sayap_badan} = k_{sayap_badan} \cdot \frac{\pi^2 \cdot E}{12 \cdot (1 - \nu^2)} \cdot \left(\frac{t}{b}\right)^2 \text{ dengan nilai } k, \text{ yaitu :}$$

$$k_{sayap_badan} = \left[\left[2 - \left(\frac{b}{h}\right)^{0.4} \right] \cdot 4 \cdot \left(\frac{b}{h}\right)^2 \right] \text{ jika } \frac{h}{b} \geq 1$$

$$\left[\left[2 - \left(\frac{h}{b}\right)^{0.2} \right] \cdot 4 \right] \text{ jika } \frac{h}{b} < 1$$

$$\frac{h}{b} = \frac{75}{35} = 2,143 > 1, \text{ sehingga nilai } k_{sayap_badan} = \left[\left[2 - \left(\frac{b}{h}\right)^{0.4} \right] \cdot 4 \cdot \left(\frac{b}{h}\right)^2 \right]$$

$$k_{sayap_badan} = \left[\left[2 - \left(\frac{b}{h}\right)^{0.4} \right] \cdot 4 \cdot \left(\frac{b}{h}\right)^2 \right]$$

$$= \left[\left[2 - \left(\frac{35}{75}\right)^{0.4} \right] \cdot 4 \cdot \left(\frac{35}{75}\right)^2 \right]$$

$$= 1,1$$

$$F_{cr_sayap} = k_{sayap} \cdot \frac{\pi^2 \cdot E}{12 \cdot (1 - \nu^2)} \cdot \left(\frac{t}{b}\right)^2$$

$$= 1,1 \cdot \frac{\pi^2 \cdot 2 \cdot 10^5}{12 \cdot (1 - 0,3^2)} \cdot \left(\frac{1,2}{35}\right)^2$$

$$= 233,74 \text{ Mpa}$$

$$F_{cr} = F_{cr_sayap} = 233,74 \text{ Mpa}$$

$$P_{cr} = F_{cr} \cdot A$$

$$= 233,74 \cdot 10^{-3} \times 193,2$$

$$= 45,158 \text{ kN}$$

- **Profil Lipped Channel 100×40×8× 1,7**

Pada sayap tepi/lip $\left(\frac{d}{t}\right) = \left(\frac{8}{1,7}\right) = 4,71$

$$F_{cr_lip} = k_{lip} \cdot \frac{\pi^2 \cdot E}{12 \cdot (1 - \mu^2)} \cdot \left(\frac{t}{d}\right)^2, \text{ dengan nilai } k, \text{ yaitu}$$

$$k_{lip} = -11,07 \left(\frac{d}{b}\right)^2 + 3,95 \left(\frac{d}{b}\right) + 4$$

$$= -11,07 \left(\frac{8}{40}\right)^2 + 3,95 \left(\frac{8}{40}\right) + 4$$

$$= 4,347$$

Sehingga

$$F_{cr_lip} = 4,347 \cdot \frac{\pi^2 \cdot 2 \cdot 10^5}{12 \cdot (1 - 0,3^2)} \cdot \left(\frac{1,7}{8}\right)^2$$

$$= 35482,5 \text{ Mpa}$$

Pada sayap dan badan

$$F_{cr_sayap_badan} = k_{sayap_badan} \cdot \frac{\pi^2 \cdot E}{12 \cdot (1 - \nu^2)} \cdot \left(\frac{t}{b}\right)^2 \text{ dengan nilai } k, \text{ yaitu :}$$

$$k_{sayap_badan} = \left[\left[2 - \left(\frac{b}{h}\right)^{0,4} \right] \cdot 4 \cdot \left(\frac{b}{h}\right)^2 \right] \text{ jika } \frac{h}{b} \geq 1$$

$$\left[\left[2 - \left(\frac{h}{b}\right)^{0,2} \right] \cdot 4 \right] \text{ jika } \frac{h}{b} < 1$$

$$\frac{h}{b} = \frac{100}{40} = 2,5 > 1, \text{ sehingga nilai } k_{sayap_badan} = \left[\left[2 - \left(\frac{b}{h}\right)^{0,4} \right] \cdot 4 \cdot \left(\frac{b}{h}\right)^2 \right]$$

$$\begin{aligned}
 k_{\text{sayap_badan}} &= \left[\left[2 - \left(\frac{b}{h} \right)^{0.4} \right] \cdot 4 \cdot \left(\frac{b}{h} \right)^2 \right] \\
 &= \left[\left[2 - \left(\frac{40}{100} \right)^{0.4} \right] \cdot 4 \cdot \left(\frac{40}{100} \right)^2 \right] \\
 &= 0,836
 \end{aligned}$$

$$\begin{aligned}
 F_{\text{cr_sayap}} &= k_{\text{sayap}} \cdot \frac{\pi^2 \cdot E}{12 \cdot (1 - \nu^2)} \cdot \left(\frac{t}{b} \right)^2 \\
 &= 0,836 \cdot \frac{\pi^2 \cdot 2 \cdot 10^5}{12 \cdot (1 - 0,3^2)} \cdot \left(\frac{1,7}{40} \right)^2 \\
 &= 272,955 \text{ Mpa}
 \end{aligned}$$

$$F_{\text{cr}} = F_{\text{cr_sayap}} = 272,955 \text{ Mpa}$$

$$\begin{aligned}
 P_{\text{cr}} &= F_{\text{cr}} \cdot A \\
 &= 272,955 \cdot 10^{-3} \times 333,2 \\
 &= 90,949 \text{ kN}
 \end{aligned}$$

- **Profil Lipped Channel 125×40×10×2**

Pada sayap tepi/lip $\left(\frac{d}{t} \right) = \left(\frac{10}{2} \right) = 8,33$

$$F_{\text{cr_lip}} = k_{\text{lip}} \cdot \frac{\pi^2 \cdot E}{12 \cdot (1 - \mu^2)} \cdot \left(\frac{t}{d} \right)^2, \text{ dengan nilai } k, \text{ yaitu}$$

$$\begin{aligned}
 k_{\text{lip}} &= -11,07 \left(\frac{d}{b} \right)^2 + 3,95 \left(\frac{d}{b} \right) + 4 \\
 &= -11,07 \left(\frac{10}{40} \right)^2 + 3,95 \left(\frac{10}{40} \right) + 4
 \end{aligned}$$

$$= 4,296$$

Sehingga

$$F_{cr_tip} = 4,296 \cdot \frac{\pi^2 \cdot 2 \cdot 10^5}{12 \cdot (1 - 0,3^2)} \cdot \left(\frac{2}{10}\right)^2$$

$$= 1918,235 \text{ Mpa}$$

Pada sayap dan badan

$$F_{cr_sayap_badan} = k_{sayap_badan} \cdot \frac{\pi^2 \cdot E}{12 \cdot (1 - \nu^2)} \cdot \left(\frac{t}{b}\right)^2 \text{ dengan nilai } k, \text{ yaitu :}$$

$$k_{sayap_badan} = \left[\left[2 - \left(\frac{b}{h}\right)^{0,4} \right] \cdot 4 \cdot \left(\frac{b}{h}\right)^2 \right] \text{ jika } \frac{h}{b} \geq 1$$

$$\left[\left[2 - \left(\frac{h}{b}\right)^{0,2} \right] \cdot 4 \right] \text{ jika } \frac{h}{b} < 1$$

$$\frac{h}{b} = \frac{125}{40} = 3,125 > 1, \text{ sehingga nilai } k_{sayap_badan} = \left[\left[2 - \left(\frac{b}{h}\right)^{0,4} \right] \cdot 4 \cdot \left(\frac{b}{h}\right)^2 \right]$$

$$k_{sayap_badan} = \left[\left[2 - \left(\frac{b}{h}\right)^{0,4} \right] \cdot 4 \cdot \left(\frac{b}{h}\right)^2 \right]$$

$$= \left[\left[2 - \left(\frac{40}{125}\right)^{0,4} \right] \cdot 4 \cdot \left(\frac{40}{125}\right)^2 \right]$$

$$= 0,560$$

$$F_{cr_sayap} = k_{sayap} \cdot \frac{\pi^2 \cdot E}{12 \cdot (1 - \nu^2)} \cdot \left(\frac{t}{b}\right)^2$$

$$= 0,560 \cdot \frac{\pi^2 \cdot 2 \cdot 10^5}{12 \cdot (1 - 0,3^2)} \cdot \left(\frac{2}{40}\right)^2$$

$$= 252,599 \text{ Mpa}$$

$$F_{cr} = F_{cr_sayap} = 252,599 \text{ Mpa}$$

$$\begin{aligned} P_{cr} &= F_{cr} \cdot A \\ &= 252,599 \cdot 10^{-3} \times 450 \\ &= 133,669 \text{ kN} \end{aligned}$$

- **Profil Lipped Channel 150×40×11×2,8**

Pada sayap tepi/lip $\left(\frac{d}{t}\right) = \left(\frac{11}{2,8}\right) = 3,929$

$$F_{cr_lip} = k_{lip} \cdot \frac{\pi^2 \cdot E}{12 \cdot (1 - \mu^2)} \cdot \left(\frac{t}{d}\right)^2, \text{ dengan nilai k, yaitu}$$

$$\begin{aligned} k_{lip} &= -11,07 \left(\frac{d}{b}\right)^2 + 3,95 \left(\frac{d}{b}\right) + 4 \\ &= -11,07 \left(\frac{11}{40}\right)^2 + 3,95 \left(\frac{11}{40}\right) + 4 \\ &= 4,249 \end{aligned}$$

Sehingga

$$\begin{aligned} F_{cr_lip} &= 4,249 \cdot \frac{\pi^2 \cdot 2 \cdot 10^5}{12 \cdot (1 - 0,3^2)} \cdot \left(\frac{2,8}{11}\right)^2 \\ &= 49765,06 \text{ Mpa} \end{aligned}$$

Pada sayap dan badan

$$F_{cr_sayap_badan} = k_{sayap_badan} \cdot \frac{\pi^2 \cdot E}{12 \cdot (1 - \nu^2)} \cdot \left(\frac{t}{b}\right)^2 \text{ dengan nilai k, yaitu :}$$

$$k_{\text{sayap_badan}} = \left[\left[2 - \left(\frac{b}{h} \right)^{0.4} \right] \cdot 4 \cdot \left(\frac{b}{h} \right)^2 \right] \quad \text{jika } \frac{h}{b} \geq 1$$

$$\left[\left[2 - \left(\frac{h}{b} \right)^{0.2} \right] \cdot 4 \right] \quad \text{jika } \frac{h}{b} < 1$$

$$\frac{h}{b} = \frac{150}{40} = 3,75 > 1, \text{ sehingga nilai } k_{\text{sayap_badan}} = \left[\left[2 - \left(\frac{b}{h} \right)^{0.4} \right] \cdot 4 \cdot \left(\frac{b}{h} \right)^2 \right]$$

$$k_{\text{sayap_badan}} = \left[\left[2 - \left(\frac{b}{h} \right)^{0.4} \right] \cdot 4 \cdot \left(\frac{b}{h} \right)^2 \right]$$

$$= \left[\left[2 - \left(\frac{40}{150} \right)^{0.4} \right] \cdot 4 \cdot \left(\frac{40}{150} \right)^2 \right]$$

$$= 0,427$$

$$F_{\text{cr sayap}} = k_{\text{sayap}} \cdot \frac{\pi^2 \cdot E}{12 \cdot (1 - \nu^2)} \cdot \left(\frac{t}{b} \right)^2$$

$$= 0,427 \cdot \frac{\pi^2 \cdot 2 \cdot 10^5}{12 \cdot (1 - 0,3^2)} \cdot \left(\frac{2,8}{40} \right)^2$$

$$= 378,21 \text{ Mpa}$$

$$F_{\text{cr}} = F_{\text{cr_sayap}} = 378,21 \text{ Mpa}$$

$$P_{\text{cr}} = F_{\text{cr}} \cdot A$$

$$= 378,21 \cdot 10^{-3} \times 691,6$$

$$= 261,569 \text{ kN}$$

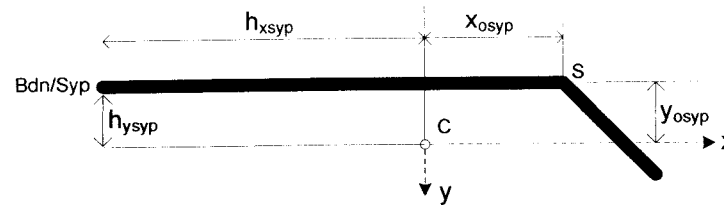
Tabel L.2.2. Nilai k dengan metode potongan "schafer"

Penampang	k sayap_bibir	k sayap_badan	Fcr sayap_bibir	Fcr sayap_badan
75x35x8x1,2	4,325	1,100	917,972	233,502
100x40x8x2	4,347	0,836	1417,928	272,805
125x40x10x2	4,296	0,560	1939,247	252,599
150x40x11x2	4,249	0,401	3759,740	355,037

Dari hasil perhitungan dengan metode potongan "schaffer" untuk nilai Fcr diambil nilai Fcr terkecil yaitu Fcr sayap_badan. Sehingga untuk koefisien tekuk (k) dipakai (k) sayap_badan.

1. Propertis Sayap Dan Persyaratan Propertis Sayap untuk perhitungan Tekuk

Distorsi.



Gambar 3.8 Propertis sayap

Modulus elastisitas geser :

$$G = \frac{E}{2(1 + \mu)} = 76923,08 \quad G = \frac{2 \cdot 10^5}{2(1 + 0,3)} = 76923,08$$

Propertis khusus untuk sayap :

$$A_{syp} = (b + d)t = 51,6 \text{ (mm}^2\text{)}$$

$$J_{syp} = \frac{1}{3} \cdot b \cdot t^3 + \frac{1}{3} \cdot d \cdot t^3 = 24,77 \text{ (mm}^4\text{)}$$

$$I_{x_{syp}} = \frac{t \cdot (t^2 \cdot b^2 + 4 \cdot b \cdot d^3 - 4 \cdot b \cdot d^3 \cdot \cos(\theta)^2 + t^2 \cdot b \cdot d + d^4 - d^4 \cdot \cos(\theta)^2)}{12(b + d)}$$

$$= 145,88 \text{ (mm}^4\text{)}$$

$$I_{y_{syp}} = \frac{t \cdot (b^4 + 4 \cdot d \cdot b^3 + 6 \cdot d^2 \cdot b^2 \cdot \cos(\theta) + 4 \cdot d^3 \cdot b \cdot \cos(\theta)^2 + d^4 \cdot \cos(\theta)^2)}{12(b + d)}$$

$$= 7388,86 \text{ (mm}^4\text{)}$$

$$I_{x_{ysyp}} = \frac{t \cdot b \cdot d^2 \cdot \sin(\theta)(b + d \cdot \cos(\theta))}{4(b + d)} = 68,37 \text{ (mm}^4\text{)}$$

$$I_{osyp} = \frac{t.b^3}{3} + \frac{b.t^3}{12} + \frac{t.d^3}{3} = 17359,84 \text{ (mm}^4\text{)}$$

$$x_{osyp} = \frac{b^2 - d^2 \cdot \cos(\theta)}{2 \cdot (b + d)} \quad \text{x jarak pusat luasan dari pusat geser} = 14,24 \text{ (mm)}$$

$$y_{osyp} = \frac{-d^2 \cdot \sin(\theta)}{2(b + d)} \quad \text{y jarak pusat luasan dari pusat geser} = -0,74 \text{ (mm)}$$

$$h_{xsyp} = \frac{-(b^2 + 2.d.b + d^2 \cdot \cos(\theta))}{2(b + d)} \quad \text{x jarak dari pusat hubungan bdn/syp}$$

$$= -20,76 \text{ (mm)}$$

$$h_{ysyp} = \frac{-d^2 \cdot \sin(\theta)}{2(b + d)} \quad \text{y jarak dari pusat hubungan badan/sayap}$$

$$= -0,74 \text{ (mm)}$$

$$C_{bdnsyp} = 0 \text{ (mm}^6\text{)}$$

2. Tekuk Distorsi

$$L_{cr} = \left(\frac{6\pi^4 h (1 - \mu^2)}{t^3} \left(I_{xsyp} (x_o - h_x)^2 + C_{bdnsyp} - \frac{I_{xysyp}^2}{I_{ysyp}} (x_o - h_x)^2 \right) \right)^{1/4}$$

$$= 1137,36$$

$$k_{\phi syp} = \left(\frac{\pi}{L} \right)^4 \left(I_{xsyp} (x_o - h_x)^2 + C_{bdnsyp} - \frac{I_{xysyp}^2}{I_{ysyp}} (x_o - h_x)^2 \right) E + \left(\frac{\pi}{L} \right)^2 G J_{syp}$$

$$= 4,59$$

$$k_{\phi_{sypg}} = \left(\frac{\pi}{L}\right)^2 \left[A_{syp} \left(\begin{array}{l} (x_o - h_x)^2 \left(\frac{I_{xysyp}^2}{I_{ysyp}} \right) + h_x^2 \\ -2y_o(x_o - h_x) \left(\frac{I_{xysyp}}{I_{ysyp}} \right) + y_o^2 \end{array} \right) + I_{xsyp} + I_{ysyp} \right]$$

$$= 843,96$$

$$k_{\phi_{bdne}} = \frac{Et^3}{6h(1-\mu^2)} = 843,96$$

$$k_{\phi_{bdng}} = \left(\frac{\pi}{L}\right)^2 \frac{th^3}{60} = 1,30$$

$$F_{crd} = \frac{k_{\phi_{sype}} + k_{\phi_{bdne}}}{k_{\phi_{sypg}} + k_{\phi_{bdng}}} = 336,27 \text{ Mpa}$$

Tabel L.2.1 Proferti sayap yang diketahui untuk perhitungan tekuk distorsi

Penampang	h	b	d	θ	t	E
75x35x8x1,2	75	35	8	90	1,2	200000
100x40x1,7x2	100	40	8	90	1,7	200000
125x40x10x2	125	40	10	90	2	200000
150x40x11x2,8	150	40	11	90	2,8	200000

LAMPIRAN 3

penampang	v	f	A	G
75x35x8x1,2	0,3	50	51,6	76923,08
100x40x8x1,8	0,3	50	81,6	76923,08
125x40x10x2	0,3	50	100	76923,08
150x40x11x2,8	0,3	50	142,8	76923,08

j	ix	ly	lxy	lo	Xo
24,77	181,26	6680,52	68,37	17359,84	14,24
78,61	270,24	13600,00	113,33	36573,18	16,67
133,33	593,33	17066,67	160,00	43360,00	16,00
373,18	1114,49	24596,08	241,57	61048,77	15,69

Yo	hx	hy
-0,74	-20,76	-0,74
-0,67	-23,33	-0,67
-1,00	-24,00	-1,00
-1,19	-24,31	-1,19

Lcr	K ϕ fe	K ϕ fg	K ϕ we	K ϕ wg	Fcr_dist_schafer
267,18	1107,11	4,03	843,96	1,17	375,77
261,20	2673,46	8,44	1799,63	4,09	356,97
297,69	3485,44	8,39	2344,32	7,24	372,80
283,43	8883,91	13,56	5360,68	19,33	433,09

3. Penampang keseluruhan profil dan proferti gross untuk analisis tekuk
keseluruhan dari lipped channel

h	b	d	t	A	b/h	I _x	I _y	r _x	r _y
75	35	8	1,2	193,2	0,47	181972,18	34084,84	30,69	13,28
100	40	8	1,7	333,2	0,40	539399,69	72580,83	40,23	14,76
125	40	10	2	450	0,32	1083157,50	98230,00	49,06	14,77
150	40	11	2,8	705,6	0,27	2345810,88	150003,53	57,66	14,58

j	X _{cg}	X _o	m
92,736	11,087	27,561	16,474
320,9827	11,429	29,035	17,606
600	10,667	27,928	17,261
1843,968	9,841	26,449	16,609

C wterm1	C wterm2	C wterm3	C wterm4	cw
1035545261	-331735656,7	12569354,55	4662267589	40089291,03
3115022802	-452190101,5	14726232,51	13754525789	142523183,8
5281275478	1589624093	19791873,33	27439501564	305157271,2
8081791511	6379483727	14805581,56	45704320536	668671126,2

4. overall (global, long-wavelength) buckling modes as per AISI(1996)

Elastic Flexural buckling about the x-axis (F_{ex})

185732,18	46433,05	20636,91	11608,26	7429,29	5159,23
319223,60	79805,90	35469,29	19951,47	12768,94	8867,32
474644,43	118661,11	52738,27	29665,28	18985,78	13184,57
655577,01	163894,25	72841,89	40973,56	26223,08	18210,47

Elastic Flexural buckling about the y-axis (F_{ey})

34789,12	8697,28	3865,46	2174,32	1391,56	966,36
42954,26	10738,56	4772,70	2684,64	1718,17	1193,17
43044,82	10761,21	4782,76	2690,30	1721,79	1195,69
41921,06	10480,26	4657,90	2620,07	1676,84	1164,47

Elastic flexurel-torsional buckling (F_{et}) ($\sigma_{ex} = F_{ex}$)

ro	σ_t						β
43,34	87174,59	21808,39	9703,54	5466,84	3505,86	2440,63	0,60
51,77	125933,06	31504,01	14017,14	7896,74	5063,87	3525,03	0,69
58,35	157105,57	39298,98	17482,95	9847,34	6313,14	4393,33	0,77
65,09	176476,76	44154,78	19650,70	11074,28	7104,62	4948,26	0,83

Fet					
70029,59	17516,40	7791,73	4388,09	2812,69	1956,91
108399,04	27114,50	12061,81	6793,36	4354,81	3030,16
142986,01	35764,72	15908,92	8959,39	5742,74	3995,42
167045,08	41792,70	18597,81	10479,59	6722,01	4680,85

Jadi nilai Fe yaitu nilai minimum dari harga [Fex , Fey , Fet], maka Fe = Fey= Fy
(tegangan leleh)

Tabel L3. $\frac{K_x L_x}{r_x}$

L=100	L2=200	L3=300	L=400	L5=500	L6=600
3,26	6,52	9,78	13,03	16,29	19,55
2,49	4,97	7,46	9,94	12,43	14,91
2,04	4,08	6,11	8,15	10,19	12,23
1,73	3,47	5,20	6,94	8,67	10,41

Tabel L3. $\frac{K_y L_y}{r_y}$

7,53	15,06	22,59	30,12	37,64	45,17
6,78	13,55	20,33	27,10	33,88	40,65
6,77	13,54	20,31	27,07	33,84	40,61
6,86	13,72	20,58	27,43	34,29	41,15

Tabel L3. $\frac{K_y L_y}{r_y}$

2500	10000	22500	40000	62500	90000
------	-------	-------	-------	-------	-------

LAMPIRAN 4

Kekuatan maksimum AISI untuk tinggi dan lebar efektif badan, sayap dan lip penampang.

1. Lebar efektif badan

Profil 75×35×8×1,2 h = 75, b = 35 dan d = 8

$F_e = 966,36 \text{ Mpa}$

$F_y = 386,27 \text{ Mpa}$

$$\lambda_c = \sqrt{\frac{f_y}{F_e}} = 0,63$$

$$F_n = 0,658^{\lambda_c^2} \cdot f_y = 326,15 \text{ Mpa}$$

$$k_{badan} = 4$$

$$f_{cr_badan} = k_{badan} \cdot \frac{\pi^2 \cdot E}{12 \cdot (1 - \mu^2)} \cdot \left(\frac{t}{h}\right)^2 = 184,91 \text{ Mpa}$$

Angka kelangsingan (λ)

$$\lambda = \frac{1,052}{\sqrt{k_{badan}}} \cdot \left(\frac{h}{t}\right) \cdot \sqrt{\frac{F_n}{E}} \quad \lambda = 1,33$$

$$\rho = 1 \text{ jika } \lambda \leq 0,673 \text{ atau } \rho = \frac{\left(1 - \frac{0,22}{\lambda}\right)}{\lambda} \text{ jika } \lambda \geq 0,673$$

maka $\rho = 0,63$

Jadi lebar efektif untuk badan

$$h_{eff} = \rho \cdot h \quad h_{eff} = 47,10 \text{ mm}$$

2. Lebar efektif untuk sayap

$$S = 1,28 \cdot \sqrt{\frac{E}{F_n}} = 33,25 \quad I_s = \frac{t \cdot d^3 \cdot (\sin 90)^2}{12} = 51,20$$

$$k_{AISI} = 4 \text{ jika } \frac{b}{t} \leq \frac{S}{3} \leq S$$

$$k_u = 0,42$$

$$I_a = t^4 \cdot 399 \cdot \left[\frac{b}{S} - \left(\frac{k_u}{4} \right)^{\frac{1}{2}} \right]^3 = 172,67 \quad n = \frac{1}{2}$$

$$C2 \leftarrow \min \left(\left[\frac{I_s}{I_a} \cdot 1 \right] \right) = 0,30$$

$$C1 \leftarrow 2 - C2 = 1,70$$

$$k_a = \left(\left[5,25 - 5 \cdot \frac{d}{b} \cdot 4 \right] \right) = 0,68$$

$$k_{AISI} = C2^n \cdot (k_a - k_u) + k_u = 0,57$$

$$\lambda = \frac{1,052}{\sqrt{k_{AISI}}} \cdot \left(\frac{b}{t} \right) \cdot \sqrt{\frac{F_n}{E}} \quad \lambda = 1,65$$

$$\rho = 1 \text{ jika } \lambda \leq 0,673 \text{ atau } \rho = \frac{\left(1 - \frac{0,22}{\lambda} \right)}{\lambda} \text{ jika } \lambda \geq 0,673$$

$$\text{maka } \rho = 0,53$$

Jadi lebar efektif untuk badan

$$b_{eff} = \rho \cdot b \quad b_{eff} = 18,38 \text{ mm}$$

3. Lebar efektif lip

Reduksi pertama

$$k_{lip} = 0,43$$

$$F_{cr_{lip}} = k_{lip} \cdot \frac{\pi^2 \cdot E}{12 \cdot (1 - \mu^2)} \cdot \left(\frac{t}{d}\right)^2 = 1747,10 \text{ MPa}$$

$$\lambda = \frac{1,052}{\sqrt{k_{lip}}} \cdot \left(\frac{d}{t}\right) \cdot \sqrt{\frac{F_n}{E}} \quad \lambda = 0,43$$

$$\rho = 1 \text{ karena } \lambda \leq 0,673$$

$$d_{s_p} = \rho \cdot d = 8 \text{ mm}$$

Reduksi kedua

$$I_a = t^4 \cdot 399 \cdot \left[\frac{b}{S} - \left(\frac{0,43}{4}\right)^{\frac{1}{2}} \right]^3 = 172,67$$

$$C2 = \min \left(\left[\frac{I_s}{I_a} \cdot 1 \right] \right) = 0,30$$

$$\text{Maka } d_{eff} = C2 \cdot d_{s_p} = 2,37 \text{ mm}$$

Untuk luas efektif

$$A_{eff} = t \cdot (h_{eff} + 2 \cdot b_{eff} + 2 \cdot d_{eff}) = 106,33 \text{ mm}$$

Tabel L4.1 menunjukkan lebar efektif untuk badan, sayap, lip, dan luas efektif profil yang lainnya.

Lampiran 4

L4.1 Lebar efektif badan penampang

penampang	λ_c	$F_n(\text{Mpa})$	$k(\text{web})$	F_{cr_web}	λ	$h(\text{mm})$	ρ	$h_{eff}(\text{mm})$
75x35x8x1,2	0,63	326,76	4	184,91	1,33	75	0,63	47,10
100x40x8x1,7	0,53	301,39	4	208,75	1,20	100	0,68	68,01
125x40x10x2	0,50	270,44	4	184,91	1,21	125	0,68	84,58
150x40x11x2,8	0,46	227,96	4	251,69	0,95	150	0,81	121,21

L4.2 Lebar efektif sayap penampang

penampang	S	I_s	k_u	I_a	n	C_2	C_1
75x35x8x1,2	31,67	51,20	0,43	172,67	0,5	0,30	1,70
100x40x8x1,7	32,97	72,53	0,43	191,24	0,5	0,38	1,62
125x40x10x2	34,81	67,00	0,43	67,36	0,5	0,99	1,01
150x40x11x2,8	37,91						

penampang	k_a	k_{AISI}	$F_{cr \text{ AISI}} (\text{Mpa})$	λ	b	ρ	$b_{eff} (\text{mm})$
75x35x8x1,2	0,68	0,57	120,01	1,65	35	0,53	18,38
100x40x8x1,7	1,25	0,94	339,50	0,94	40	0,81	32,54
125x40x10x2	0,25	0,25	113,08	1,55	40	0,55	22,19
150x40x11x2,8		4	249,38	0,96	40	0,81	32,21

L4.3 Lebar efektif lip dan luas efektif penampang

penampang	$k \text{ lip}$	F_{cr}	λ	ρ	d_{s_p}	I_a	C_2	d	$d_{eff}(\text{mm})$	$A_{eff}(\text{mm}^2)$
75x35x8x1,2	0,43	1747,10	0,43	1	8	172,67	0,30	8	2,37	106,33
100x40x8x1,7	0,43	3506,33	0,29	1	8	191,24	0,38	8	3,03	236,57
125x40x10x2	0,43	3105,95	0,29	1	10	67,36	0,99	10	9,95	297,70
150x40x11x2,8	0,43	5031,13	0,21	1	11		1,00	11	11	581,36

LAMPIRAN 5

Perhitungan Koefisien Tekuk

1. Koefisien Tekuk Uji Desak

a) **Benda uji 75×35×8×1,2 cm L= 10cm**

$$F_{cr} = 334,50 \text{ Mpa}$$

$$b = 35 \text{ mm}$$

$$t = 1,2 \text{ mm}$$

$$E = 2.10^5$$

$$\mu = 0,3$$

$$F_{cr} = k \frac{\pi^2 E}{12(1-\mu^2)(b/t)^2}$$

$$k = \frac{F_{cr} \cdot 12 \cdot (1-\mu^2)(b/t)^2}{\pi^2 \cdot E}$$

$$k = \frac{334,5 \times 12 \times (1-0,3^2) \left(\frac{35}{1,2}\right)^2}{3,14^2 \times 2.10^5} = 1,576$$

b) **Benda uji 20 cm**

$$F_{cr} = 320,91 \text{ Mpa}$$

$$b = 35 \text{ mm}$$

$$t = 1,2 \text{ mm}$$

$$E = 2.10^5$$

$$\mu = 0,3$$

$$F_{cr} = k \frac{\pi^2 E}{12(1-\mu^2)(b/t)^2}$$

$$k = \frac{F_{cr} \cdot 12 \cdot (1 - \mu^2) (b/t)^2}{\pi^2 \cdot E}$$

$$k = \frac{320,91 \times 12 \times (1 - 0,3^2) \left(\frac{35}{1,2}\right)^2}{3,14^2 \times 2.10^5} = 1,512$$

c) Benda uji 30 cm

$$F_{cr} = 311,21 \text{ Mpa}$$

$$b = 35 \text{ mm}$$

$$t = 1,2 \text{ mm}$$

$$E = 2.10^5$$

$$\mu = 0,3$$

$$F_{cr} = k \frac{\pi^2 E}{12 (1 - \mu^2) (b/t)^2}$$

$$k = \frac{F_{cr} \cdot 12 \cdot (1 - \mu^2) (b/t)^2}{\pi^2 \cdot E}$$

$$k = \frac{311,21 \times 12 \times (1 - 0,3^2) \left(\frac{35}{1,2}\right)^2}{3,14^2 \times 2.10^5} = 1,466$$

d) Benda uji 40 cm

$$F_{cr} = 305,38 \text{ Mpa}$$

$$b = 35 \text{ mm}$$

$$t = 1,2 \text{ mm}$$

$$E = 2.10^5$$

$$\mu = 0,3$$

$$F_{cr} = k \frac{\pi^2 E}{12 (1 - \mu^2) (b/t)^2}$$

$$k = \frac{F_{cr} \cdot 12 \cdot (1 - \mu^2) (b/t)^2}{\pi^2 \cdot E}$$

$$k = \frac{305,38 \times 12 \times (1 - 0,3^2) \left(\frac{35}{1,2}\right)^2}{3,14^2 \times 2 \cdot 10^5} = 1,439$$

e) Benda uji 50 cm

$$F_{cr} = 300,21 \text{ Mpa}$$

$$b = 35 \text{ mm}$$

$$t = 1,2 \text{ mm}$$

$$E = 2 \cdot 10^5$$

$$\mu = 0,3$$

$$F_{cr} = k \frac{\pi^2 E}{12 (1 - \mu^2) (b/t)^2}$$

$$k = \frac{F_{cr} \cdot 12 \cdot (1 - \mu^2) (b/t)^2}{\pi^2 \cdot E}$$

$$k = \frac{300,21 \times 12 \times (1 - 0,3^2) \left(\frac{35}{1,2}\right)^2}{3,14^2 \times 2 \cdot 10^5} = 1,415$$

f) Benda uji 60 cm

$$F_{cr} = 293,09 \text{ Mpa}$$

$$b = 35 \text{ mm}$$

$$t = 1,2 \text{ mm}$$

$$E = 2.10^5$$

$$\mu = 0,3$$

$$F_{cr} = k \frac{\pi^2 E}{12 (1 - \mu^2) (b/t)^2}$$

$$k = \frac{F_{cr} \cdot 12 \cdot (1 - \mu^2) (b/t)^2}{\pi^2 \cdot E}$$

$$k = \frac{293,09 \times 12 \times (1 - 0,3^2) \left(\frac{35}{1,2}\right)^2}{3,14^2 \times 2.10^5} = 1,381$$

Tabel L6. 1 Koefisien tekuk uji desak profil C75×35×8×1,2

Benda uji	panjang kolom(mm)	Fcr (Mpa)	π	A	b/t	μ	Koefisien tekuk (k)
75x35x8x1,2	100	334,50	3,14	193,2	29,17	0,3	1,576
	200	320,91	3,14	193,2	29,17	0,3	1,512
	300	311,21	3,14	193,2	29,17	0,3	1,466
	400	305,38	3,14	193,2	29,17	0,3	1,439
	500	300,21	3,14	193,2	29,17	0,3	1,415
	600	293,09	3,14	193,2	29,17	0,3	1,381

Tabel L6. 2 Koefisien tekuk uji desak profil C100×40×8×1,7

benda uji	panjang kolom(mm)	Fcr (Mpa)	π	A	b/t	μ	Koefisien tekuk (k)
100x40x8x2	100	259,60	3,14	333,2	23,53	0,3	0,796
	200	247,37	3,14	333,2	23,53	0,3	0,758
	300	238,22	3,14	333,2	23,53	0,3	0,730
	400	228,84	3,14	333,2	23,53	0,3	0,702
	500	222,09	3,14	333,2	23,53	0,3	0,681
	600	217,59	3,14	333,2	23,53	0,3	0,667

Tabel L6. 3 Koefisien tekuk uji desak profil C125×40×10×2

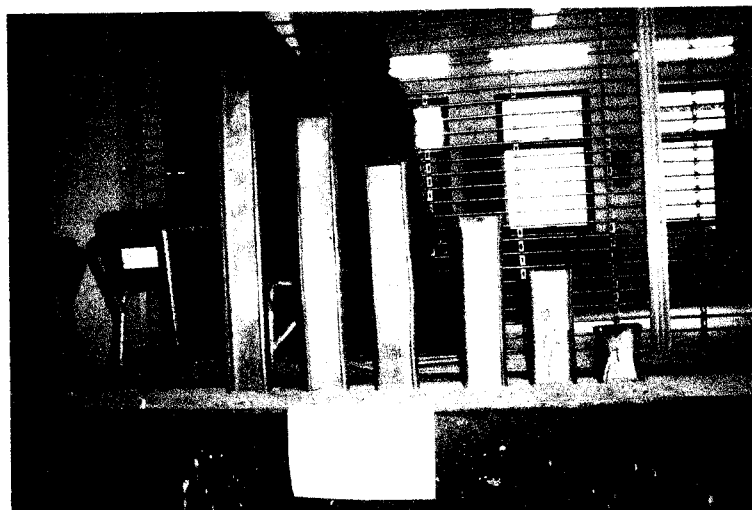
Benda uji	panjang kolom(mm)	Fcr (Mpa)	π	A	b/t	μ	Koefisien tekuk (k)
125x40x10x2	100	236,11	3,14	450	20	0,3	0,523
	200	222,22	3,14	450	20	0,3	0,492
	300	213,61	3,14	450	20	0,3	0,473
	400	205,00	3,14	450	20	0,3	0,454
	500	194,44	3,14	450	20	0,3	0,431
	600	180,83	3,14	450	20	0,3	0,401

Tabel L6. 4 Koefisien tekuk uji desak profil C150×40×10×2,8

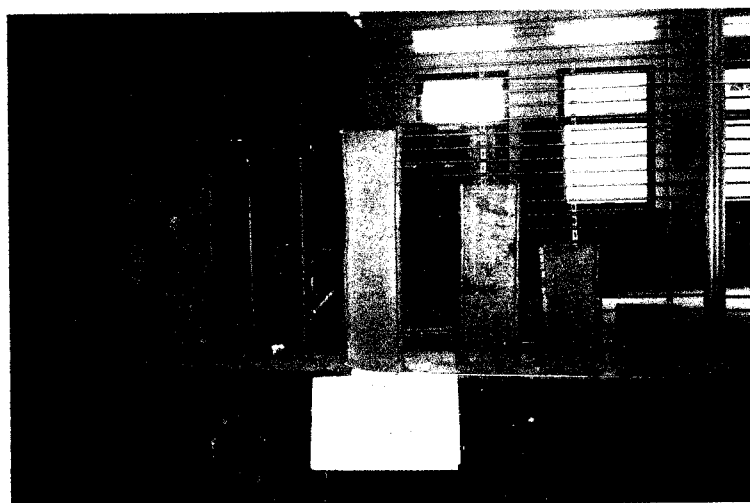
Benda uji	panjang kolom(mm)	Fcr (Mpa)	π	A(cm)	b/t	μ	Koefisien tekuk (k)
150x40x11x2	100	230,44	3,14	691,6	14,29	0,3	0,261
	200	217,43	3,14	691,6	14,29	0,3	0,246
	300	202,68	3,14	691,6	14,29	0,3	0,229
	400	194,48	3,14	691,6	14,29	0,3	0,220
	500	182,19	3,14	691,6	14,29	0,3	0,206
	600	168,59	3,14	691,6	14,29	0,3	0,191

LAMPIRAN 6

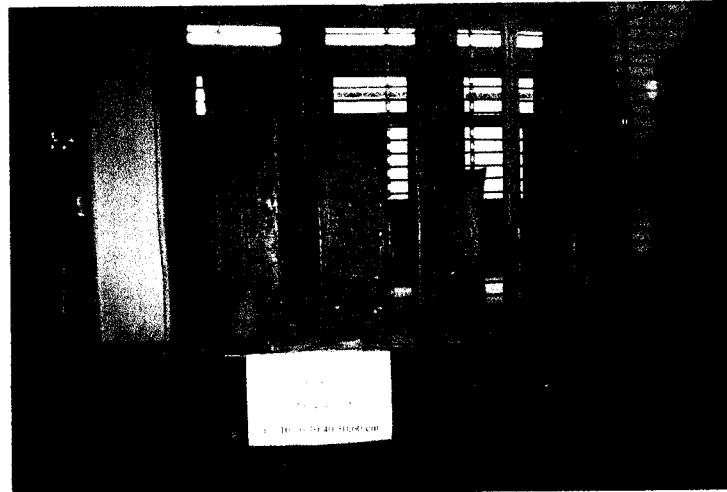
Dokumentasi Pelaksanaan Pengujian



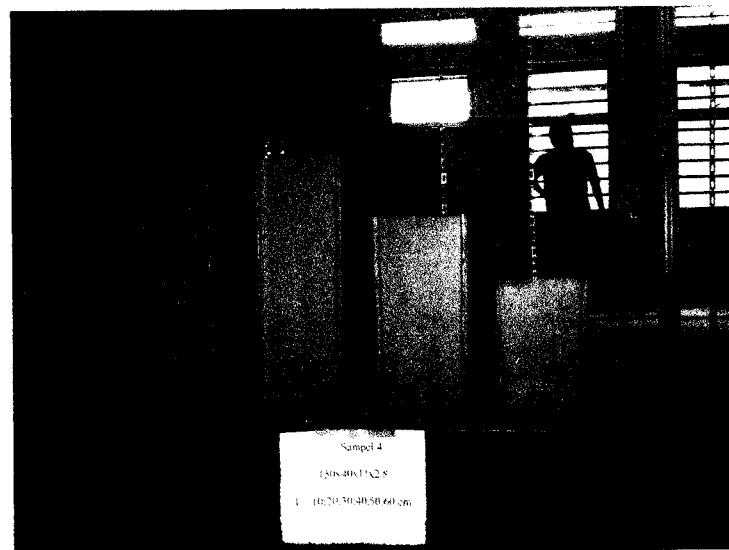
Gambar L7. 1 Benda uji 1 setelah pengujian



Gambar L7. 2 Benda uji 2 setelah pengujian



Gambar L7.3 Benda uji 3 setelah pengujian



Gambar L7.4 Benda uji 4 setelah pengujian